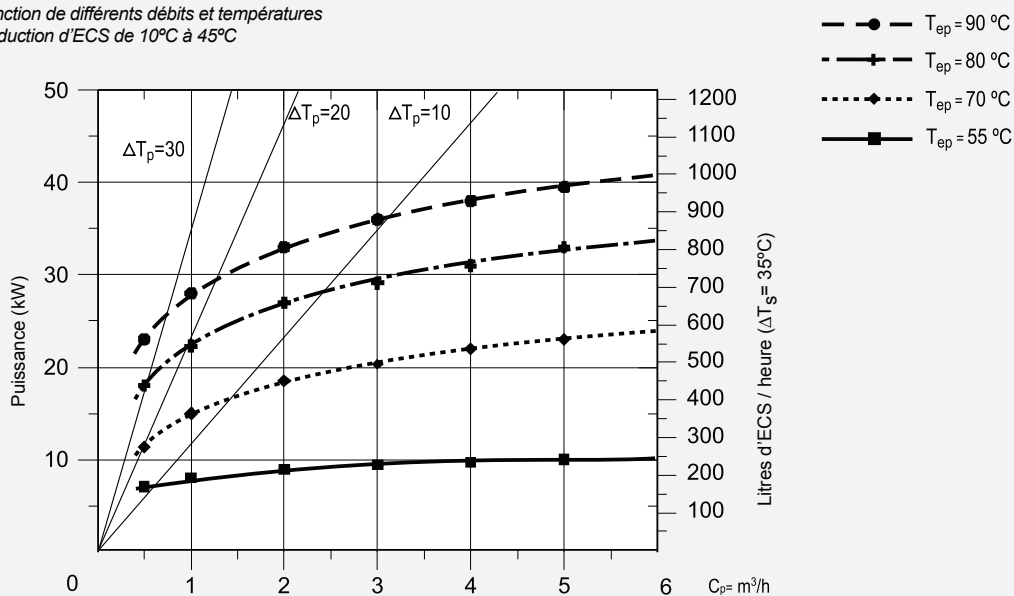


## CV-110-M1

Courbes de performance en fonction de différents débits et températures du circuit primaire pour une production d'ECS de 10°C à 45°C

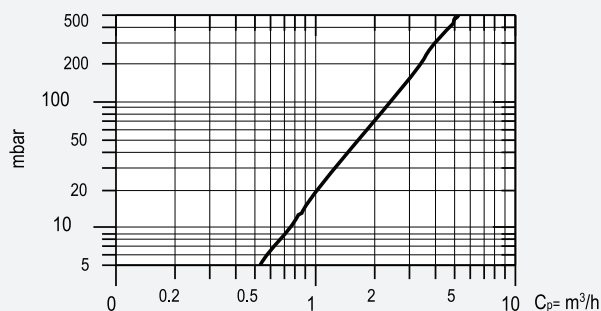


### Performances CV-110-M1

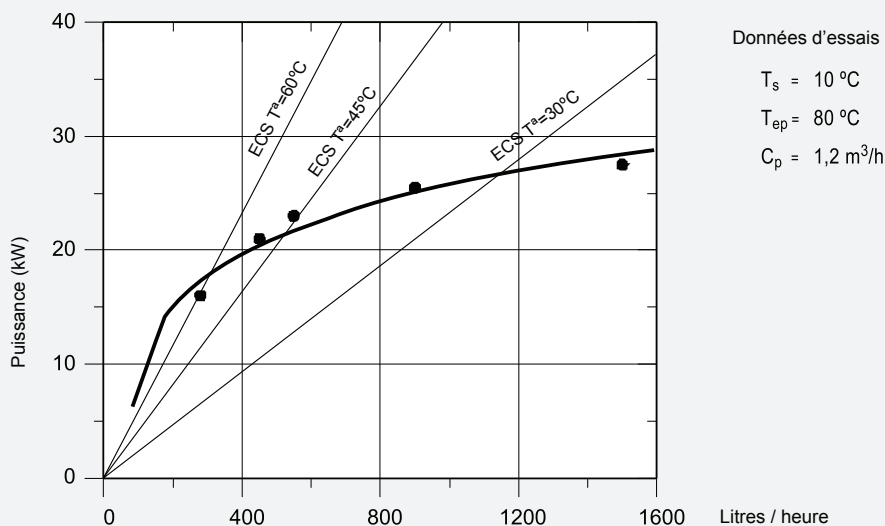
Débit de pointe à 40°C	L/10min	170
Débit de pointe à 45°C	L/10min	152
Débit de pointe à 60°C	L/10min	105
Débit de pointe à 40°C	L/60min	1060
Débit de pointe à 45°C	L/60min	964
Débit de pointe à 60°C	L/60min	584
Débit continu à 40°C	L/h	1070
Débit continu à 45°C	L/h	974
Débit continu à 60°C	L/h	575
Temps de préchauffage de 10 à 60°C	min	17
Débit circuit primaire	$m^3/h$	5

Note: Performance déterminée à partir d'un débit circuit primaire de 85°C et d'une entrée d'eau froide circuit secondaire à 10°C.

Pertes de charge entre les connexions d'entrée et sortie du circuit primaire pour différents débits de circulation.



Courbes de production en continu d'eau avec des températures différentes et un débit prédéterminé du circuit primaire pour  $\Delta T_p = 20^\circ C$  et  $\Delta t_s = 30^\circ C$

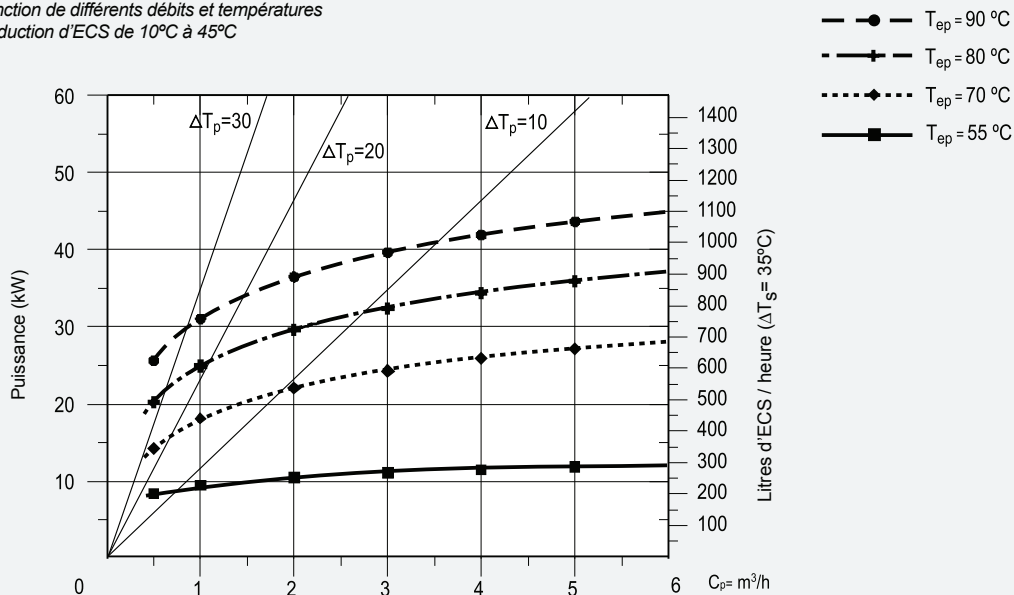


### Données d'essais

$T_s = 10^\circ C$   
 $T_{ep} = 80^\circ C$   
 $C_p = 1,2 m^3/h$

## CV-150-M1

Courbes de performance en fonction de différents débits et températures du circuit primaire pour une production d'ECS de 10°C à 45°C

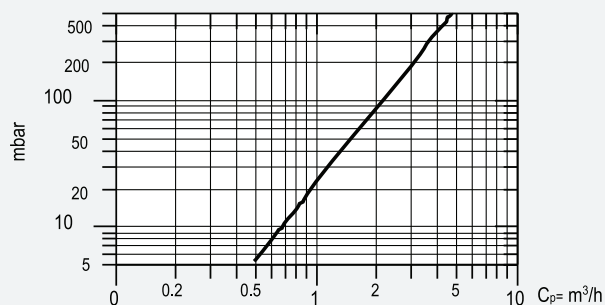


### Performances CV-150-M1

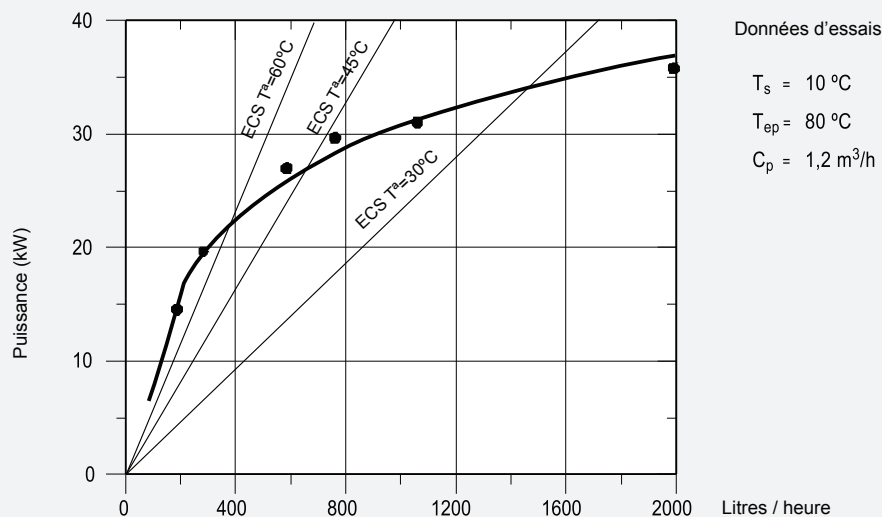
Débit de pointe à 40°C	L/10min	230
Débit de pointe à 45°C	L/10min	210
Débit de pointe à 60°C	L/10min	147
Débit de pointe à 40°C	L/60min	1160
Débit de pointe à 45°C	L/60min	1105
Débit de pointe à 60°C	L/60min	675
Débit continu à 40°C	L/h	1115
Débit continu à 45°C	L/h	1074
Débit continu à 60°C	L/h	634
Temps de préchauffage de 10 à 60°C	min	20
Débit circuit primaire	$\text{m}^3/\text{h}$	5

Note: Performance déterminée à partir d'un débit circuit primaire de 85°C et d'une entrée d'eau froide circuit secondaire à 10°C.

Pertes de charge entre les connexions d'entrée et sortie du circuit primaire pour différents débits de circulation.

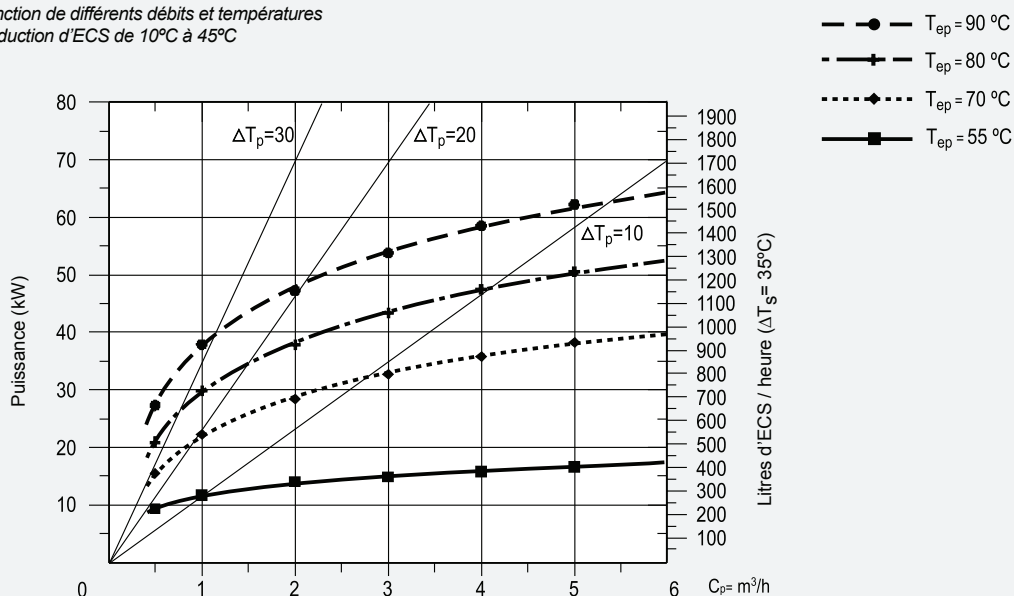


Courbes de production en continu d'eau avec des températures différentes et un débit prédéterminé du circuit primaire pour  $\Delta T_p = 20^\circ\text{C}$  et  $\Delta t_s = 30^\circ\text{C}$



## CV-200-M1

Courbes de performance en fonction de différents débits et températures du circuit primaire pour une production d'ECS de 10°C à 45°C

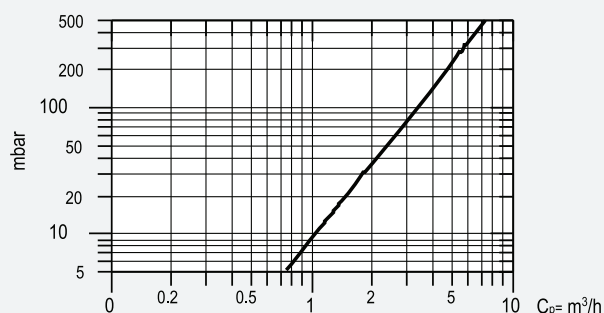


### Performances CV-200-M1

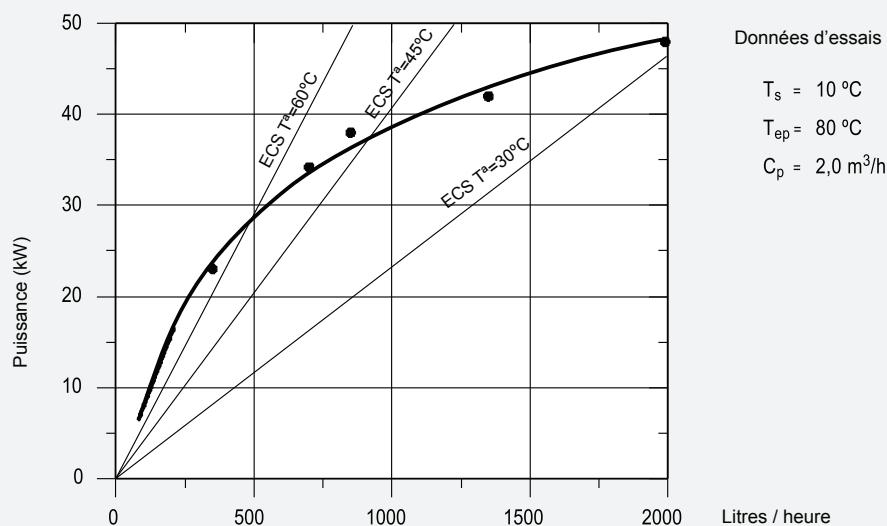
Débit de pointe à 40°C	L/10min	435
Débit de pointe à 45°C	L/10min	389
Débit de pointe à 60°C	L/10min	273
Débit de pointe à 40°C	L/60min	1810
Débit de pointe à 45°C	L/60min	1654
Débit de pointe à 60°C	L/60min	1024
Débit continu à 40°C	L/h	1650
Débit continu à 45°C	L/h	1519
Débit continu à 60°C	L/h	901
Temps de préchauffage de 10 à 60°C	min	25
Débit circuit primaire	m³/h	5

Note: Performance déterminée à partir d'un débit circuit primaire de 85°C et d'une entrée d'eau froide circuit secondaire à 10°C.

Pertes de charge entre les connexions d'entrée et sortie du circuit primaire pour différents débits de circulation.



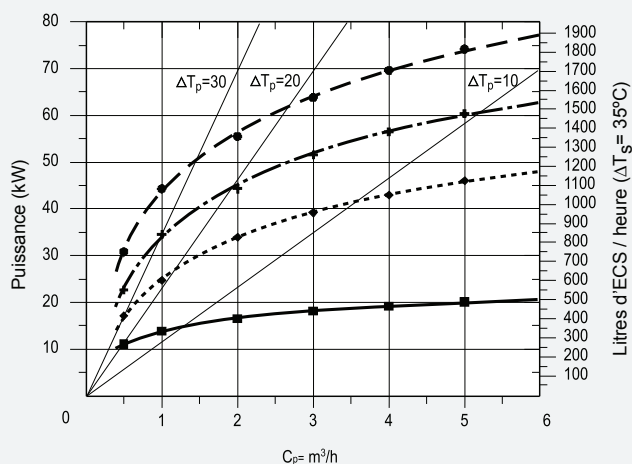
Courbes de production en continu d'eau avec des températures différentes et un débit prédéterminé du circuit primaire pour  $\Delta T_p = 20^\circ\text{C}$  et  $\Delta t_s = 30^\circ\text{C}$



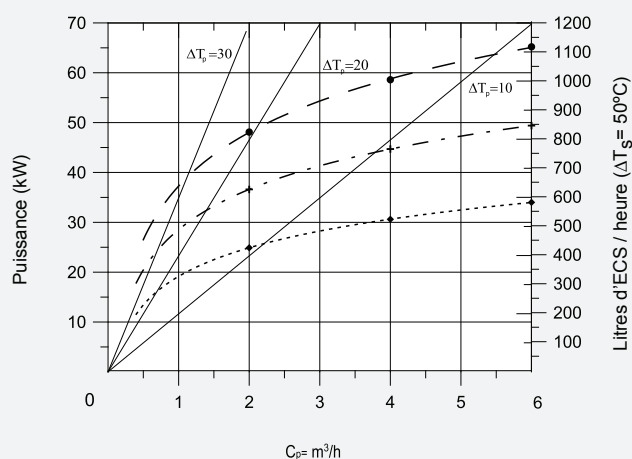
## CV-300-M1

$T_{ep} = 90^\circ\text{C}$   $T_{ep} = 70^\circ\text{C}$   
 $T_{ep} = 80^\circ\text{C}$   $T_{ep} = 55^\circ\text{C}$

Courbes de performance en fonction de différents débits et températures du circuit primaire pour une production d'ECS de  $10^\circ\text{C}$  à  $45^\circ\text{C}$



Courbes de performance en fonction de différents débits et températures du circuit primaire pour une production d'ECS de  $10^\circ\text{C}$  à  $60^\circ\text{C}$

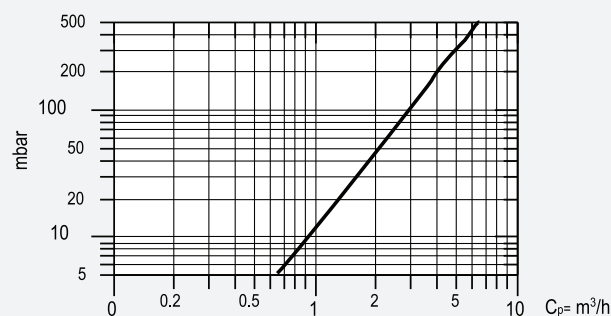


### Performances CV-300-M1/M2

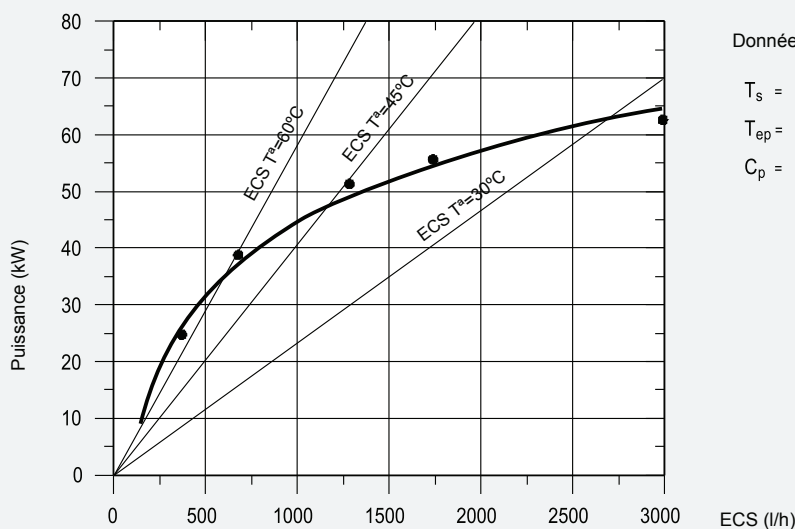
Débit de pointe à $40^\circ\text{C}$	L/10min	605
Débit de pointe à $45^\circ\text{C}$	L/10min	546
Débit de pointe à $60^\circ\text{C}$	L/10min	383
Débit de pointe à $40^\circ\text{C}$	L/60min	2330
Débit de pointe à $45^\circ\text{C}$	L/60min	2125
Débit de pointe à $60^\circ\text{C}$	L/60min	1320
Débit continu à $40^\circ\text{C}$	L/h	2070
Débit continu à $45^\circ\text{C}$	L/h	1320
Débit continu à $60^\circ\text{C}$	L/h	1124
Temps de préchauffage de $10$ à $60^\circ\text{C}$	min	27
Débit circuit primaire	$\text{m}^3/\text{h}$	6

Note: Performance déterminée à partir d'un débit circuit primaire de  $85^\circ\text{C}$  et d'une entrée d'eau froide circuit secondaire à  $10^\circ\text{C}$ .

Pertes de charge entre les connexions d'entrée et sortie du circuit primaire pour différents débits de circulation.



Courbes de production en continu d'ECS avec des températures différentes et un débit prédéterminé du circuit primaire pour  $\Delta T_p = 20^\circ\text{C}$  et  $\Delta T_s = 30^\circ\text{C}$

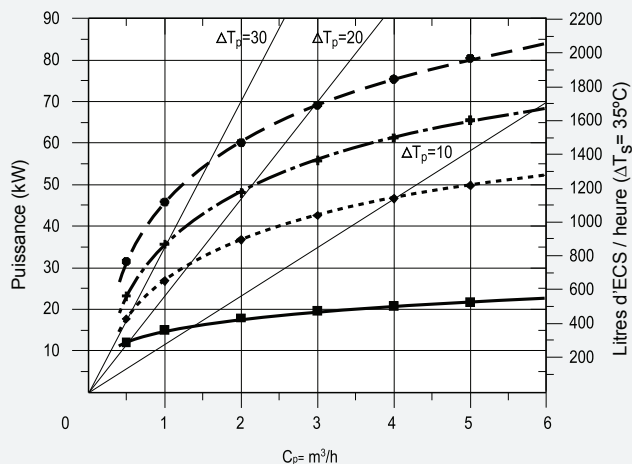


### Données d'essais

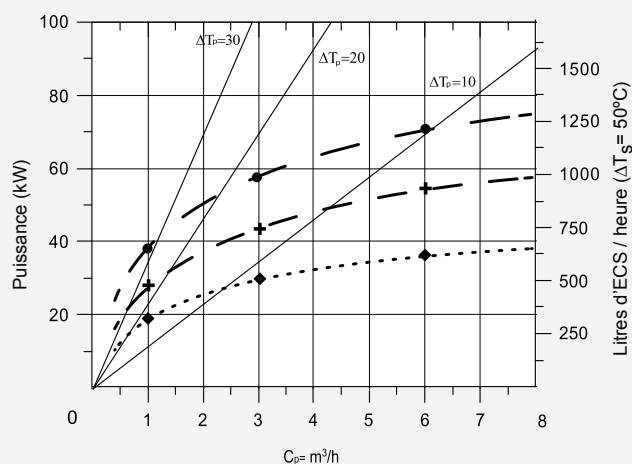
$T_s = 10^\circ\text{C}$   
 $T_{ep} = 80^\circ\text{C}$   
 $C_p = 2,5 \text{ m}^3/\text{h}$

## CV-500-M1

Courbes de performance en fonction de différents débits et températures du circuit primaire pour une production d'ECS de 10°C à 45°C



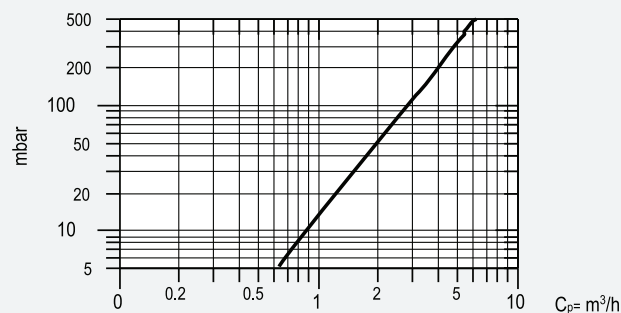
Courbes de performance en fonction de différents débits et températures du circuit primaire pour une production d'ECS de 10°C à 60°C



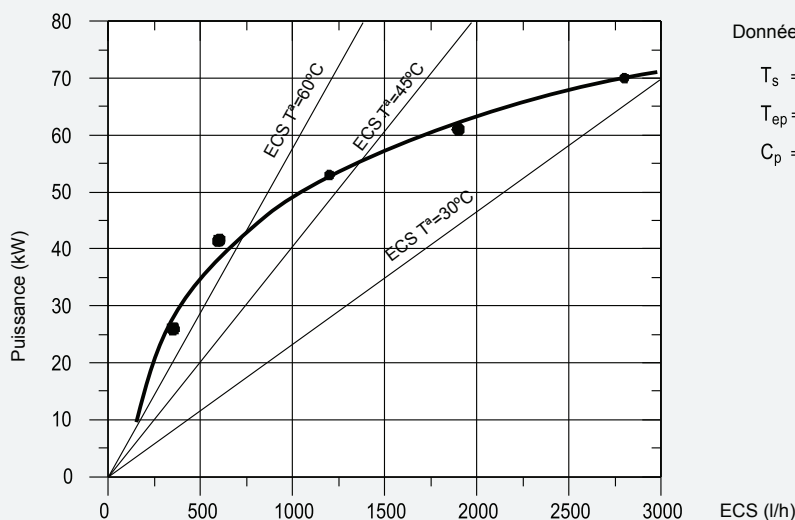
Performances		CV-400-M2	CV-500-M1/M2
Débit de pointe à 40°C	L/10min	835	1085
Débit de pointe à 45°C	L/10min	751	977
Débit de pointe à 60°C	L/10min	525	683
Débit de pointe à 40°C	L/60min	2505	2960
Débit de pointe à 45°C	L/60min	2282	2697
Débit de pointe à 60°C	L/60min	1432	1702
Débit continu à 40°C	L/h	2005	2250
Débit continu à 45°C	L/h	1837	2065
Débit continu à 60°C	L/h	1088	1223
Temps de préchauffage de 10 à 60°C	min	30	32
Débit circuit primaire	m³/h	6	6

Note: Performance déterminée à partir d'un débit circuit primaire de 85°C et d'une entrée d'eau froide circuit secondaire à 10°C.

Pertes de charge entre les connexions d'entrée et sortie du circuit primaire pour différents débits de circulation.



Courbes de production en continu d'ECS avec des températures différentes et un débit prédéterminé du circuit primaire pour ΔTp=20°C et ΔTs=30°C



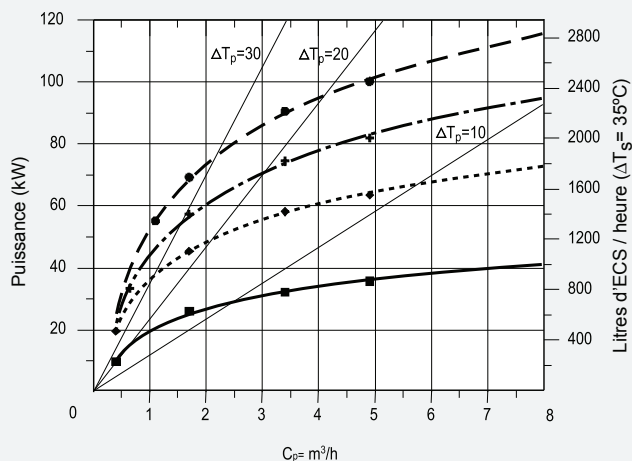
Données d'essais

$T_s = 10^\circ\text{C}$   
 $T_{ep} = 80^\circ\text{C}$   
 $C_p = 2,7 \text{ m}^3/\text{h}$

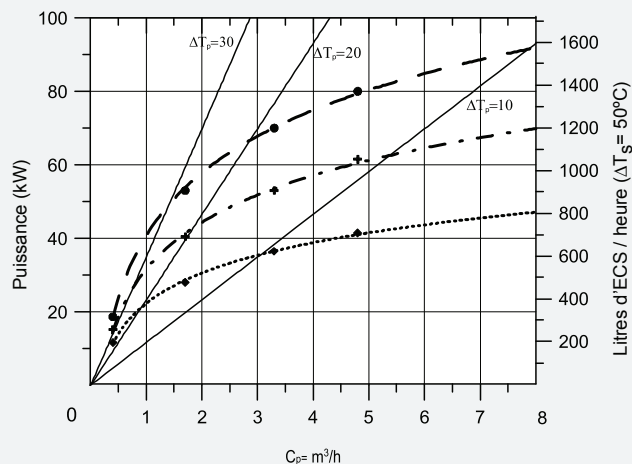
## CV-800-M1

$T_{ep} = 90^\circ\text{C}$      $T_{ep} = 70^\circ\text{C}$   
 $T_{ep} = 80^\circ\text{C}$      $T_{ep} = 55^\circ\text{C}$

Courbes de performance en fonction de différents débits et températures du circuit primaire pour une production d'ECS de  $10^\circ\text{C}$  à  $45^\circ\text{C}$



Courbes de performance en fonction de différents débits et températures du circuit primaire pour une production d'ECS de  $10^\circ\text{C}$  à  $60^\circ\text{C}$

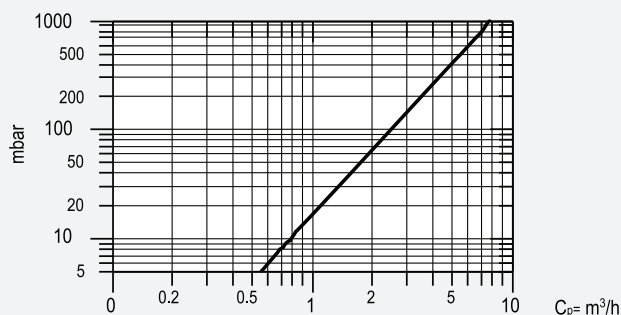


### Performances CV-800-M1/M2

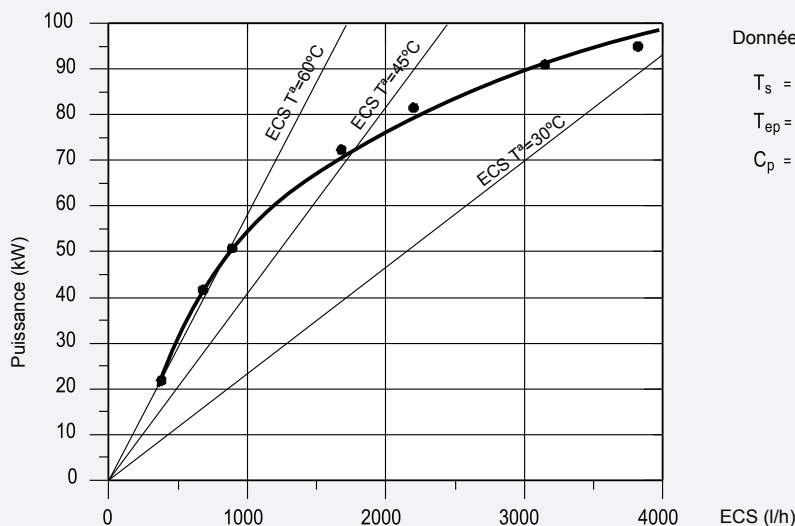
Débit de pointe à $40^\circ\text{C}$	L/10min	1625
Débit de pointe à $45^\circ\text{C}$	L/10min	1465
Débit de pointe à $60^\circ\text{C}$	L/10min	1024
Débit de pointe à $40^\circ\text{C}$	L/60min	4105
Débit de pointe à $45^\circ\text{C}$	L/60min	3839
Débit de pointe à $60^\circ\text{C}$	L/60min	2343
Débit continu à $40^\circ\text{C}$	L/h	2975
Débit continu à $45^\circ\text{C}$	L/h	2849
Débit continu à $60^\circ\text{C}$	L/h	1583
Temps de préchauffage de $10$ à $60^\circ\text{C}$	min	36
Débit circuit primaire	$\text{m}^3/\text{h}$	8

Note: Performance déterminée à partir d'un débit circuit primaire de  $85^\circ\text{C}$  et d'une entrée d'eau froide circuit secondaire à  $10^\circ\text{C}$ .

Pertes de charge entre les connexions d'entrée et sortie du circuit primaire pour différents débits de circulation.



Courbes de production en continu d'ECS avec des températures différentes et un débit prédéterminé du circuit primaire pour  $\Delta T_p = 20^\circ\text{C}$  et  $\Delta T_s = 30^\circ\text{C}$

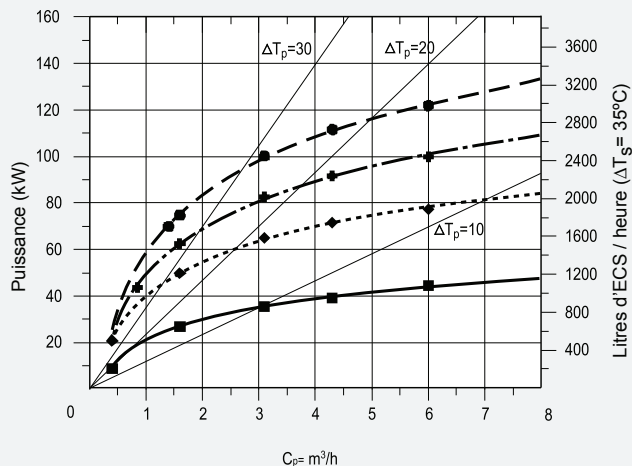


### Données d'essais

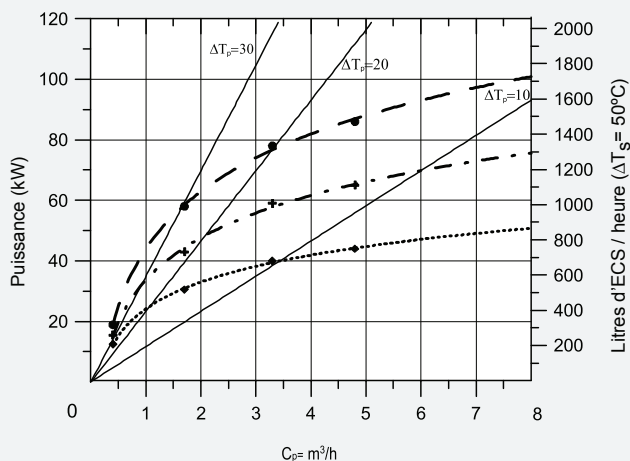
$T_s = 10^\circ\text{C}$   
 $T_{ep} = 80^\circ\text{C}$   
 $C_p = 3,7 \text{ m}^3/\text{h}$

## CV-1000-M1

Courbes de performance en fonction de différents débits et températures du circuit primaire pour une production d'ECS de 10°C à 45°C



Courbes de performance en fonction de différents débits et températures du circuit primaire pour une production d'ECS de 10°C à 60°C

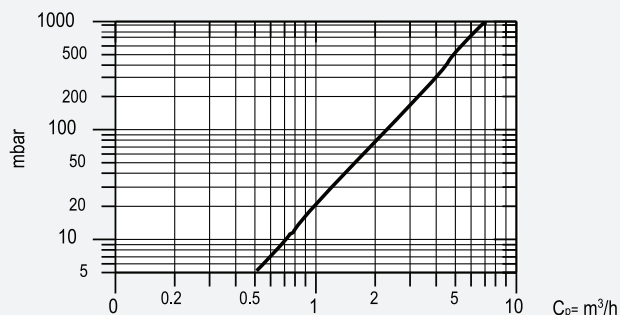


### Performances CV-1000-M1/M2

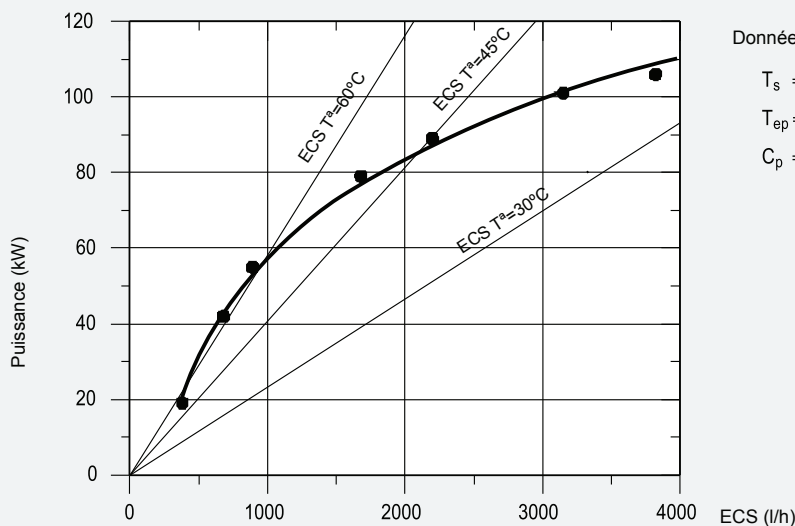
Débit de pointe à 40°C	L/10min	1950
Débit de pointe à 45°C	L/10min	1754
Débit de pointe à 60°C	L/10min	1229
Débit de pointe à 40°C	L/60min	4935
Débit de pointe à 45°C	L/60min	4487
Débit de pointe à 60°C	L/60min	2681
Débit continu à 40°C	L/h	3580
Débit continu à 45°C	L/h	3281
Débit continu à 60°C	L/h	1743
Temps de préchauffage de 10 à 60°C	min	40
Débit circuit primaire	$m^3/h$	8

Note: Performance déterminée à partir d'un débit circuit primaire de 85°C et d'une entrée d'eau froide circuit secondaire à 10°C.

Pertes de charge entre les connexions d'entrée et sortie du circuit primaire pour différents débits de circulation.



Courbes de production en continu d'ECS avec des températures différentes et un débit prédéterminé du circuit primaire pour  $\Delta T_p = 20^\circ C$  et  $\Delta T_s = 30^\circ C$



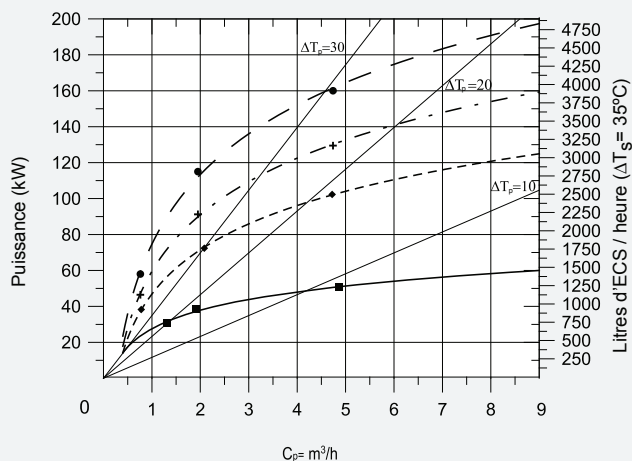
### Données d'essais

$T_s = 10^\circ C$   
 $T_{ep} = 80^\circ C$   
 $C_p = 4,0 m^3/h$

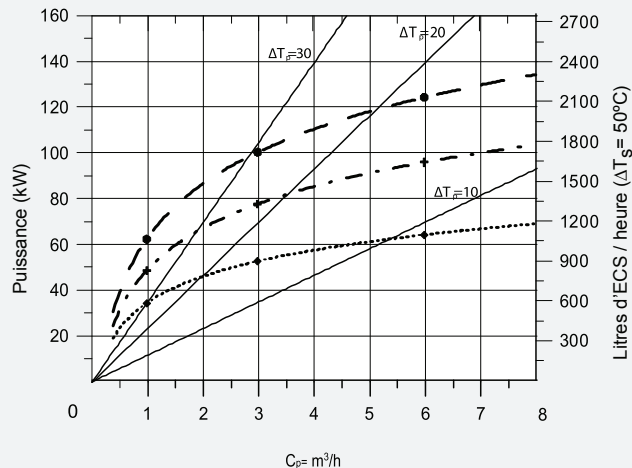
## CV-1500-M1B

$T_{ep} = 90^\circ\text{C}$   $T_{ep} = 70^\circ\text{C}$   
 $T_{ep} = 80^\circ\text{C}$   $T_{ep} = 55^\circ\text{C}$

Courbes de performance en fonction de différents débits et températures du circuit primaire pour une production d'ECS de  $10^\circ\text{C}$  à  $45^\circ\text{C}$



Courbes de performance en fonction de différents débits et températures du circuit primaire pour une production d'ECS de  $10^\circ\text{C}$  à  $60^\circ\text{C}$

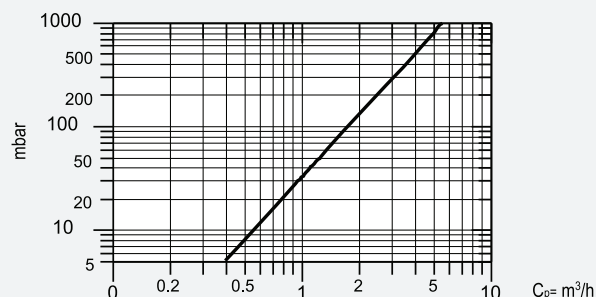


### Performances CV-1500-M1/M2

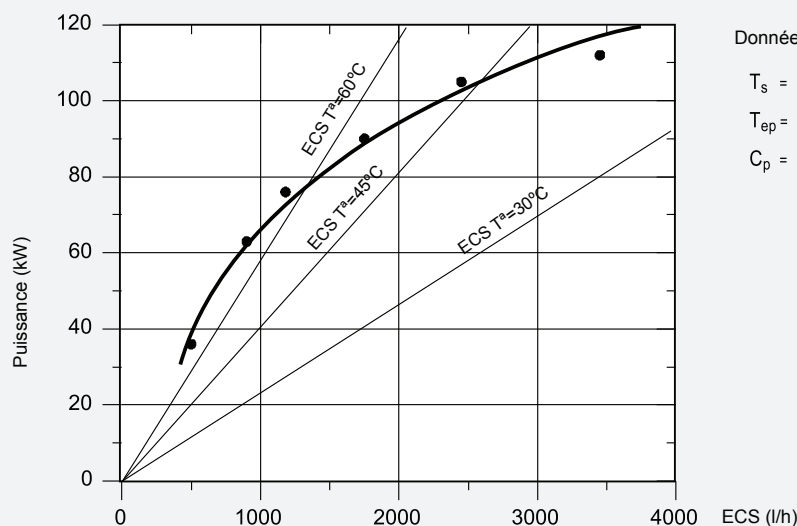
Débit de pointe à $40^\circ\text{C}$	L/10min	3188
Débit de pointe à $45^\circ\text{C}$	L/10min	2732
Débit de pointe à $60^\circ\text{C}$	L/10min	1913
Débit de pointe à $40^\circ\text{C}$	L/60min	7438
Débit de pointe à $45^\circ\text{C}$	L/60min	6274
Débit de pointe à $60^\circ\text{C}$	L/60min	3829
Débit continu à $40^\circ\text{C}$	L/h	5100
Débit continu à $45^\circ\text{C}$	L/h	4250
Débit continu à $60^\circ\text{C}$	L/h	2300
Temps de préchauffage de $10$ à $60^\circ\text{C}$	min	78
Débit circuit primaire	$\text{m}^3/\text{h}$	8

Note: Performance déterminée à partir d'un débit circuit primaire de  $85^\circ\text{C}$  et d'une entrée d'eau froide circuit secondaire à  $10^\circ\text{C}$ .

Pertes de charge entre les connexions d'entrée et sortie du circuit primaire pour différents débits de circulation.



Courbes de production en continu d'ECS avec des températures différentes et un débit prédéterminé du circuit primaire pour  $\Delta T_p = 20^\circ\text{C}$  et  $\Delta T_s = 30^\circ\text{C}$



Données d'essais

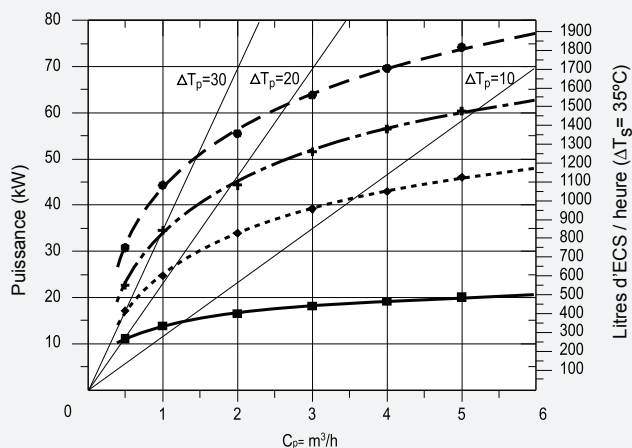
$T_s = 10^\circ\text{C}$   
 $T_{ep} = 80^\circ\text{C}$   
 $C_p = 4,3 \text{ m}^3/\text{h}$



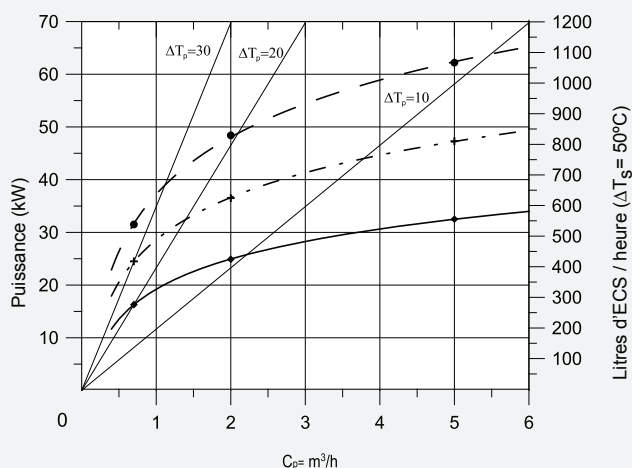
## CV-300-M2

### Serpentin inférieur

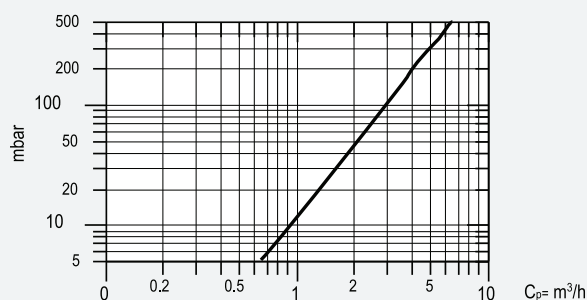
Courbes de performance en fonction de différents débits et températures du circuit primaire pour une production d'ECS de 10°C à 45°C



Courbes de performance en fonction de différents débits et températures du circuit primaire pour une production d'ECS de 10°C à 60°C

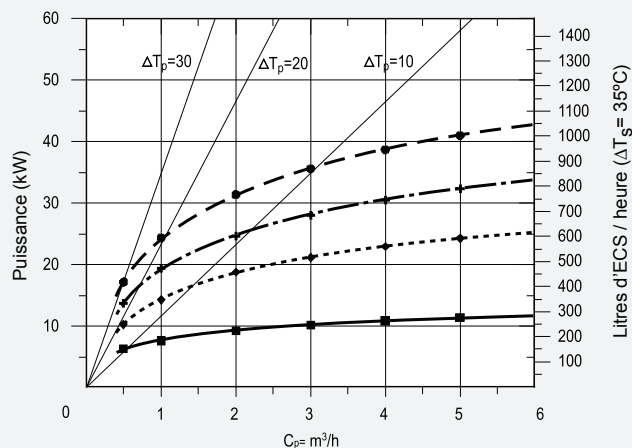


Pertes de charge entre les connexions d'entrée et sortie du circuit primaire pour différents débits de circulation.

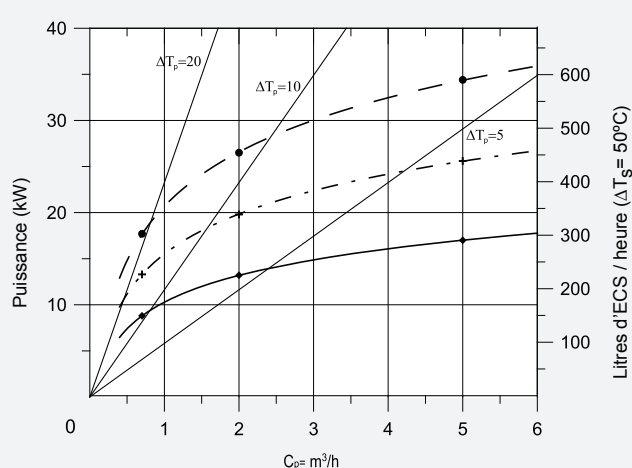


### Serpentin supérieur

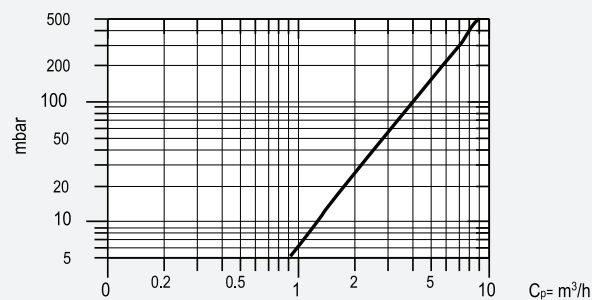
Courbes de performance en fonction de différents débits et températures du circuit primaire pour une production d'ECS de 10°C à 45°C



Courbes de performance en fonction de différents débits et températures du circuit primaire pour une production d'ECS de 10°C à 60°C



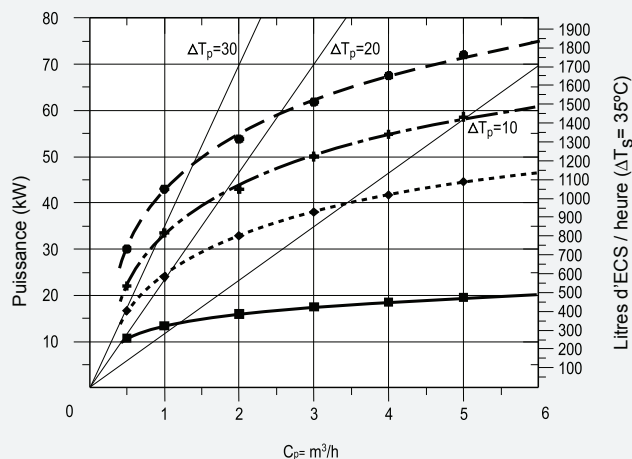
Pertes de charge entre les connexions d'entrée et sortie du circuit primaire pour différents débits de circulation.



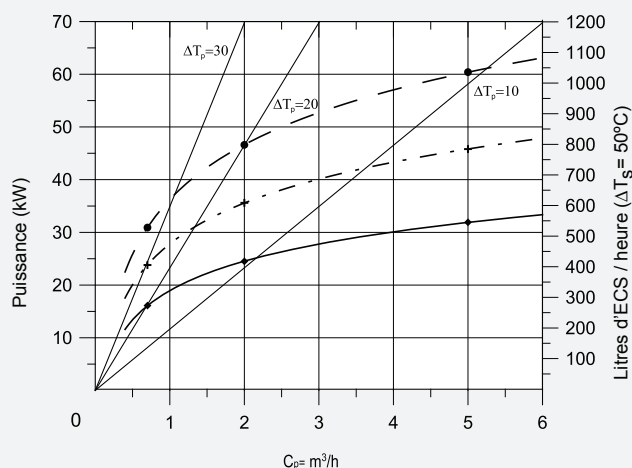
## CV-400-M2

### Serpentin inférieur

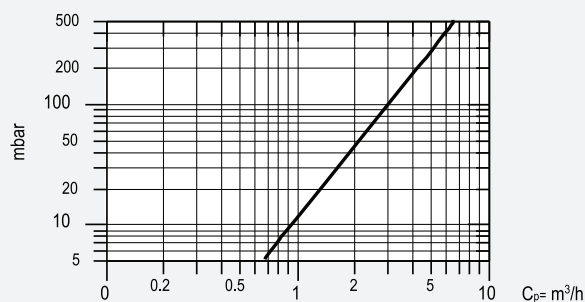
Courbes de performance en fonction de différents débits et températures du circuit primaire pour une production d'ECS de 10°C à 45°C



Courbes de performance en fonction de différents débits et températures du circuit primaire pour une production d'ECS de 10°C à 60°C

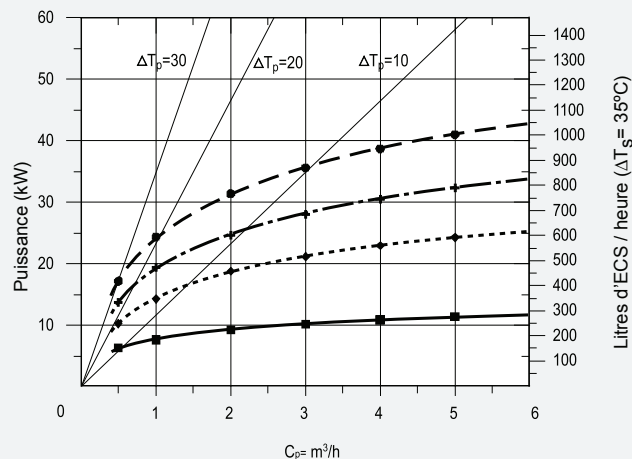


Pertes de charge entre les connexions d'entrée et sortie du circuit primaire pour différents débits de circulation.

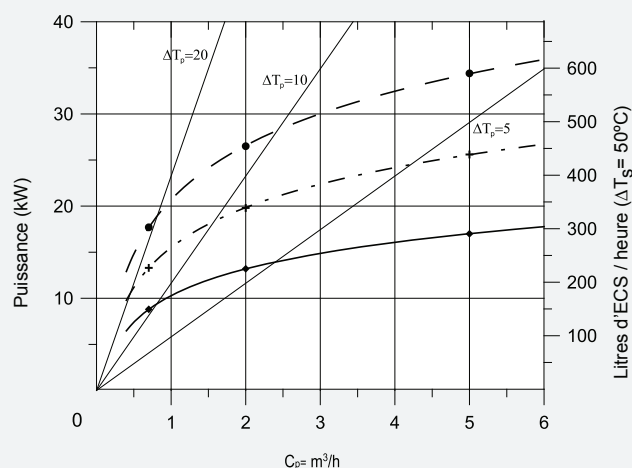


### Serpentin supérieur

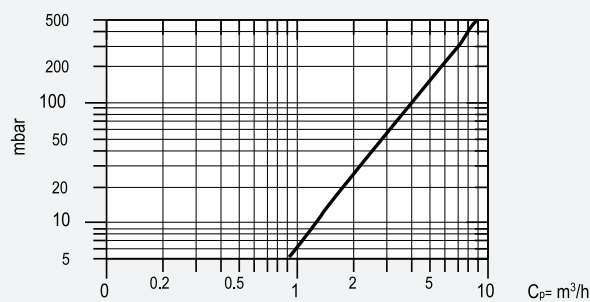
Courbes de performance en fonction de différents débits et températures du circuit primaire pour une production d'ECS de 10°C à 45°C



Courbes de performance en fonction de différents débits et températures du circuit primaire pour une production d'ECS de 10°C à 60°C



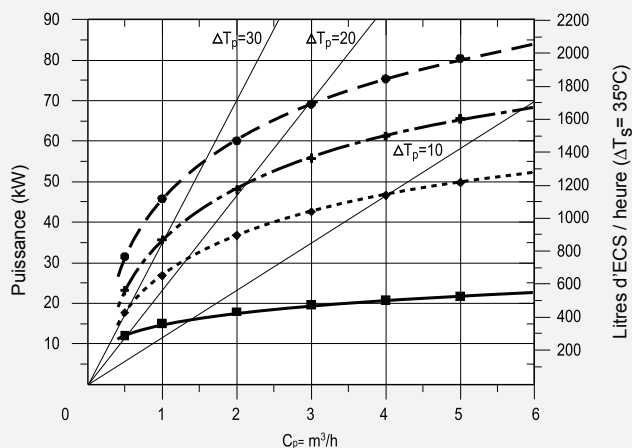
Pertes de charge entre les connexions d'entrée et sortie du circuit primaire pour différents débits de circulation.



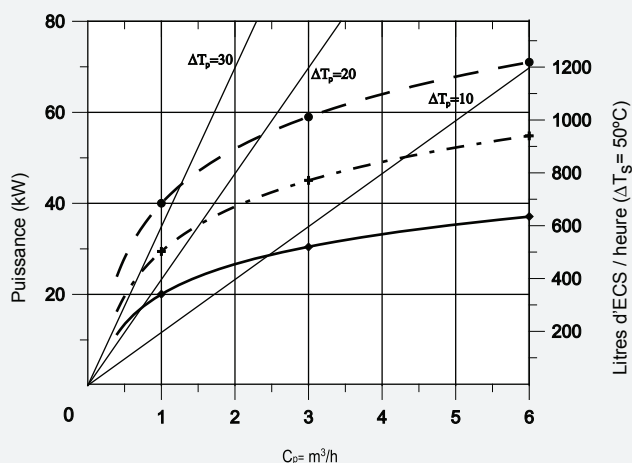
## CV-500-M2

### Serpentin inférieur

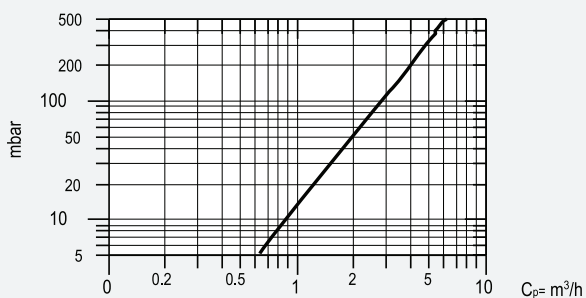
Courbes de performance en fonction de différents débits et températures du circuit primaire pour une production d'ECS de 10°C à 45°C



Courbes de performance en fonction de différents débits et températures du circuit primaire pour une production d'ECS de 10°C à 60°C

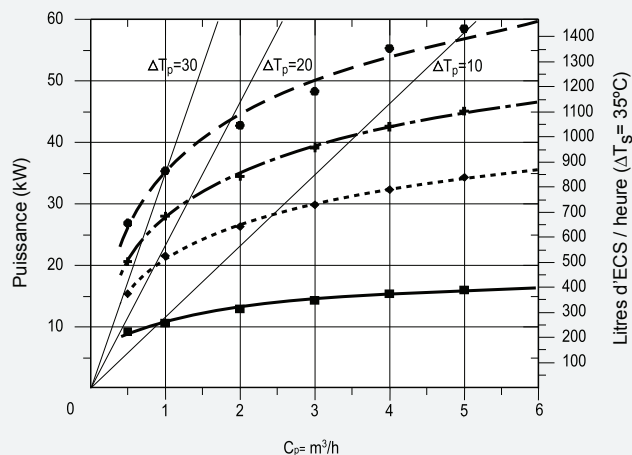


Pertes de charge entre les connexions d'entrée et sortie du circuit primaire pour différents débits de circulation.

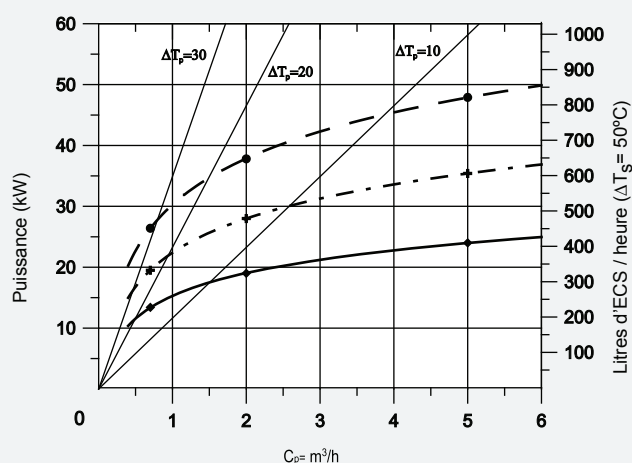


### Serpentin supérieur

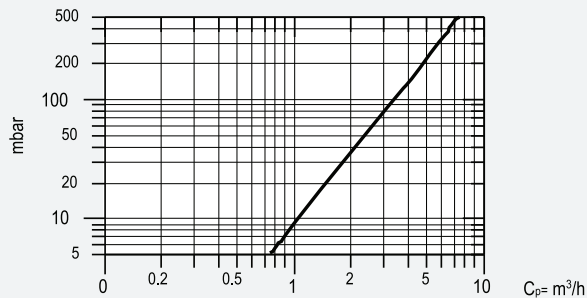
Courbes de performance en fonction de différents débits et températures du circuit primaire pour une production d'ECS de 10°C à 45°C



Courbes de performance en fonction de différents débits et températures du circuit primaire pour une production d'ECS de 10°C à 60°C



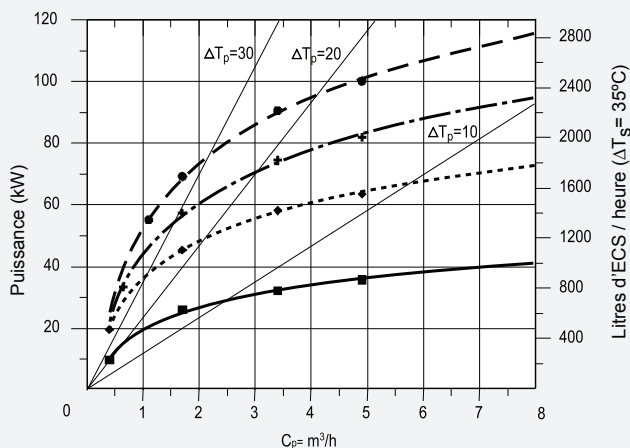
Pertes de charge entre les connexions d'entrée et sortie du circuit primaire pour différents débits de circulation.



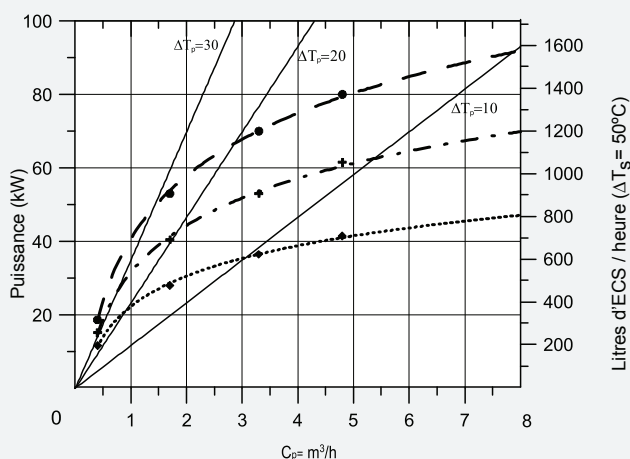
## CV-800-M2

### Serpentin inférieur

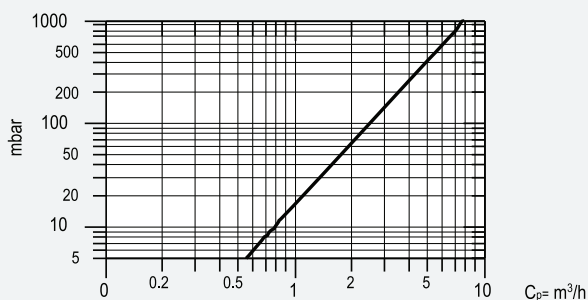
Courbes de performance en fonction de différents débits et températures du circuit primaire pour une production d'ECS de 10°C à 45°C



Courbes de performance en fonction de différents débits et températures du circuit primaire pour une production d'ECS de 10°C à 60°C

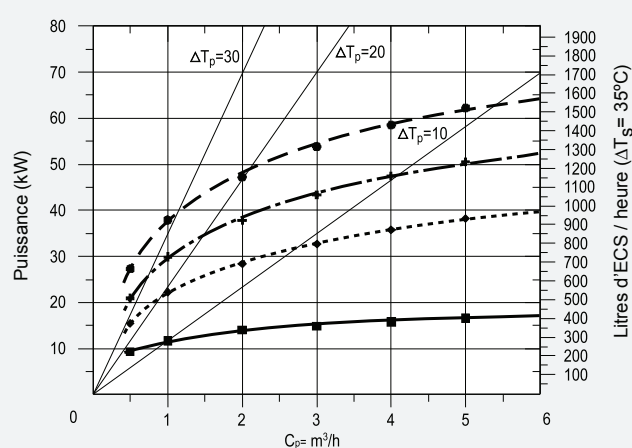


Pertes de charge entre les connexions d'entrée et sortie du circuit primaire pour différents débits de circulation.

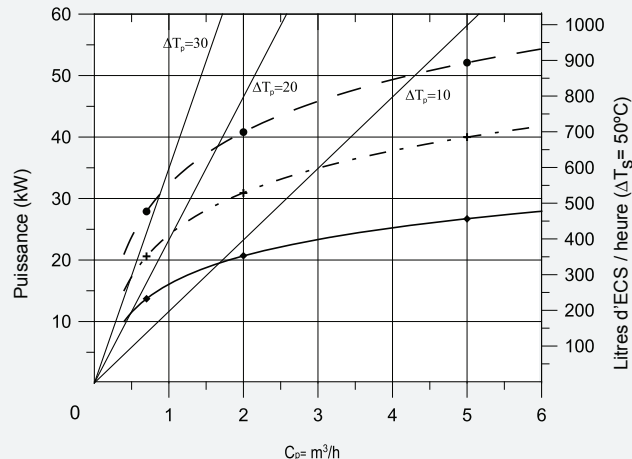


### Serpentin supérieur

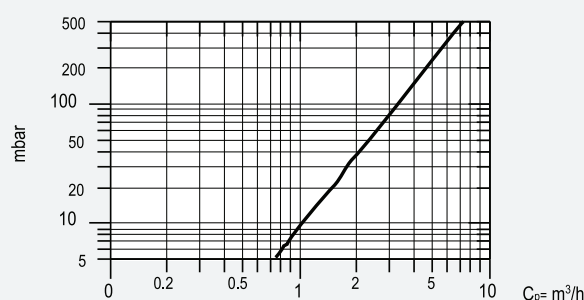
Courbes de performance en fonction de différents débits et températures du circuit primaire pour une production d'ECS de 10°C à 45°C



Courbes de performance en fonction de différents débits et températures du circuit primaire pour une production d'ECS de 10°C à 60°C



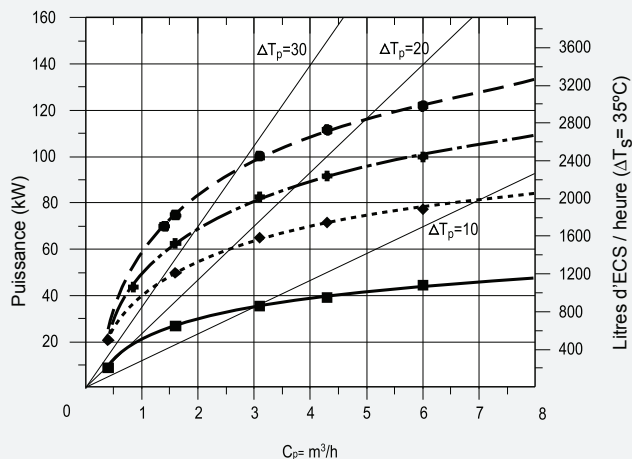
Pertes de charge entre les connexions d'entrée et sortie du circuit primaire pour différents débits de circulation.



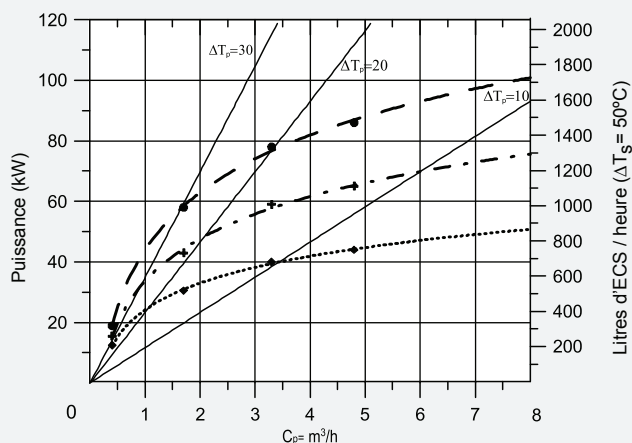
## CV-1000-M2

### Serpentin inférieur

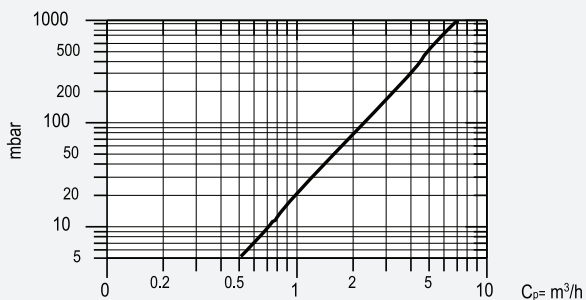
Courbes de performance en fonction de différents débits et températures du circuit primaire pour une production d'ECS de 10°C à 45°C



Courbes de performance en fonction de différents débits et températures du circuit primaire pour une production d'ECS de 10°C à 60°C



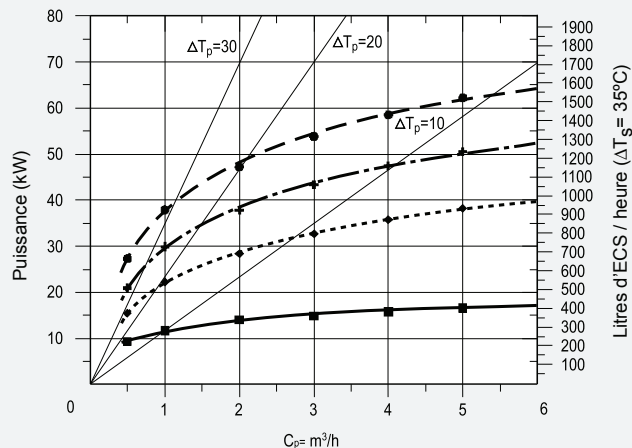
Pertes de charge entre les connexions d'entrée et sortie du circuit primaire pour différents débits de circulation.



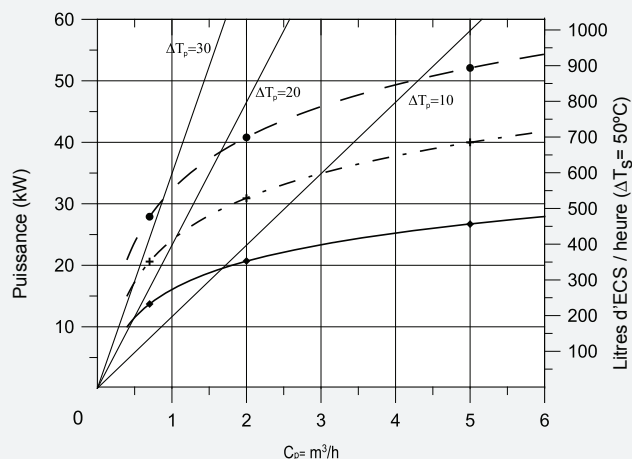
—●—  $T_{ep} = 90^\circ C$     - - -◆- - -  $T_{ep} = 70^\circ C$   
 - - -+ - - -  $T_{ep} = 80^\circ C$     —■—  $T_{ep} = 55^\circ C$

### Serpentin supérieur

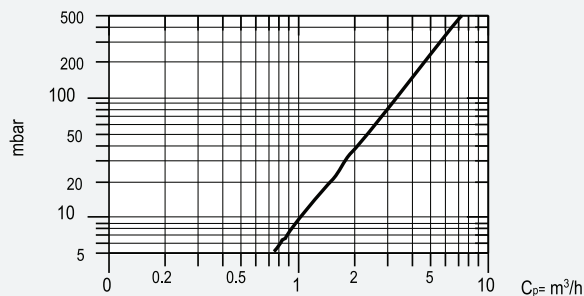
Courbes de performance en fonction de différents débits et températures du circuit primaire pour une production d'ECS de 10°C à 45°C



Courbes de performance en fonction de différents débits et températures du circuit primaire pour une production d'ECS de 10°C à 60°C

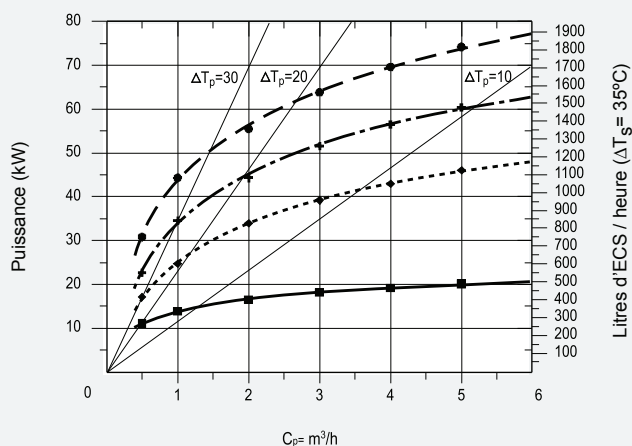


Pertes de charge entre les connexions d'entrée et sortie du circuit primaire pour différents débits de circulation.

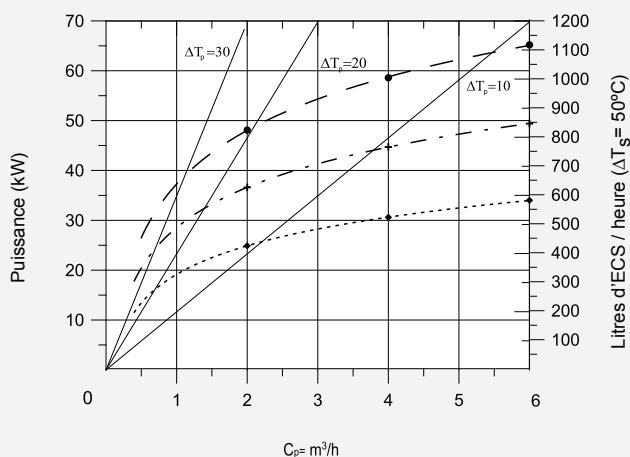


## CV-160-HLM

Courbes de performance en fonction de différents débits et températures du circuit primaire pour une production d'ECS de 10°C à 45°C



Courbes de performance en fonction de différents débits et températures du circuit primaire pour une production d'ECS de 10°C à 60°C

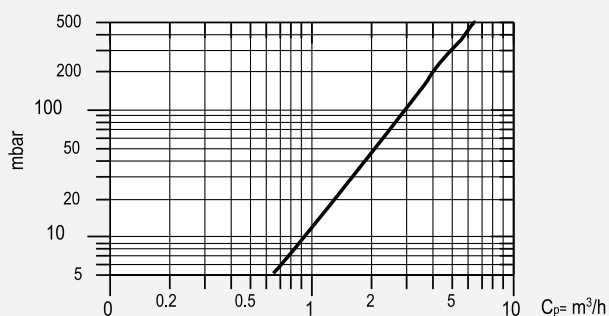


### Performances CV-160-HL/M

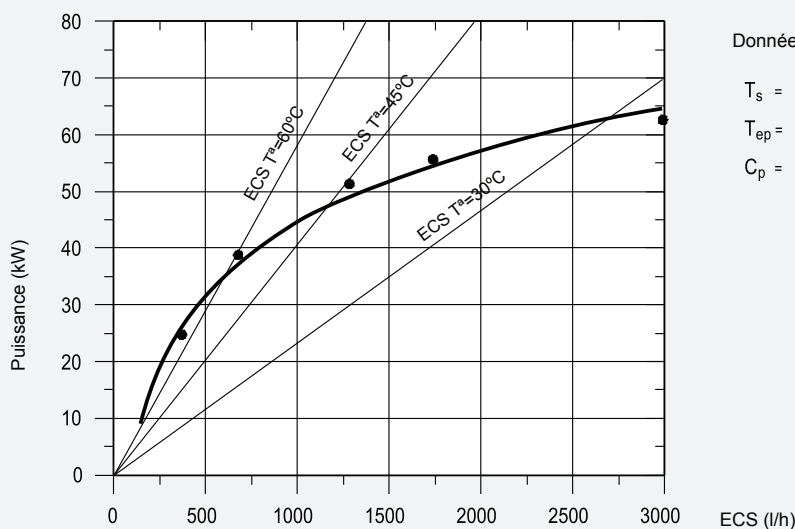
Débit de pointe à 40°C	L/10'	380
Débit de pointe à 45°C	L/10'	326
Débit de pointe à 60°C	L/10'	228
Débit de pointe à 40°C	L/60'	2105
Débit de pointe à 45°C	L/60'	1763
Débit de pointe à 60°C	L/60'	1049
Débit continu à 40°C	Ltrs/h	2070
Débit continu à 45°C	Ltrs/h	1725
Débit continu à 60°C	Ltrs/h	985
Temps de préchauffage de 10 à 75°C	Min	19
Débit circuit primaire	m³/h	6

Note: Performance déterminée à partir d'un débit circuit primaire de 85°C et d'une entrée d'eau froide circuit secondaire à 10°C.

Pertes de charge entre les connexions d'entrée et sortie du circuit primaire pour différents débits de circulation.



Courbes de production en continu d'ECS avec des températures différentes et un débit prédéterminé du circuit primaire pour  $\Delta T_p = 20^\circ C$  et  $\Delta t_s = 30^\circ C$



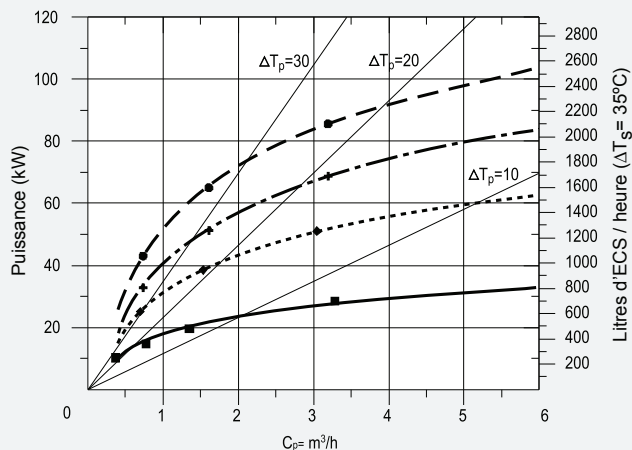
### Données d'essais

$T_s = 10^\circ C$   
 $T_{ep} = 80^\circ C$   
 $C_p = 2.5 m^3/h$

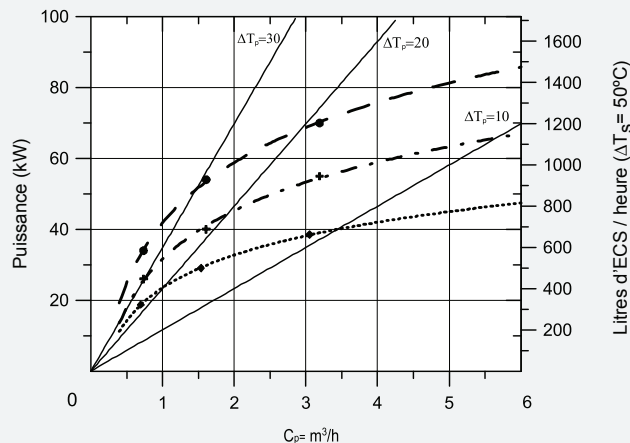
## CV-200-HL

$T_{ep} = 90^\circ\text{C}$      $T_{ep} = 70^\circ\text{C}$   
 $T_{ep} = 80^\circ\text{C}$      $T_{ep} = 55^\circ\text{C}$

Courbes de performance en fonction de différents débits et températures du circuit primaire pour une production d'ECS de  $10^\circ\text{C}$  à  $45^\circ\text{C}$



Courbes de performance en fonction de différents débits et températures du circuit primaire pour une production d'ECS de  $10^\circ\text{C}$  à  $60^\circ\text{C}$

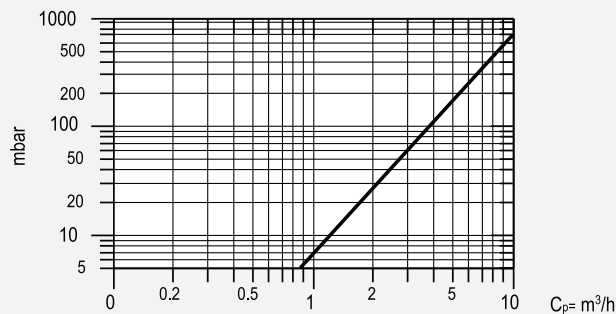


### Performances CV-200-HL

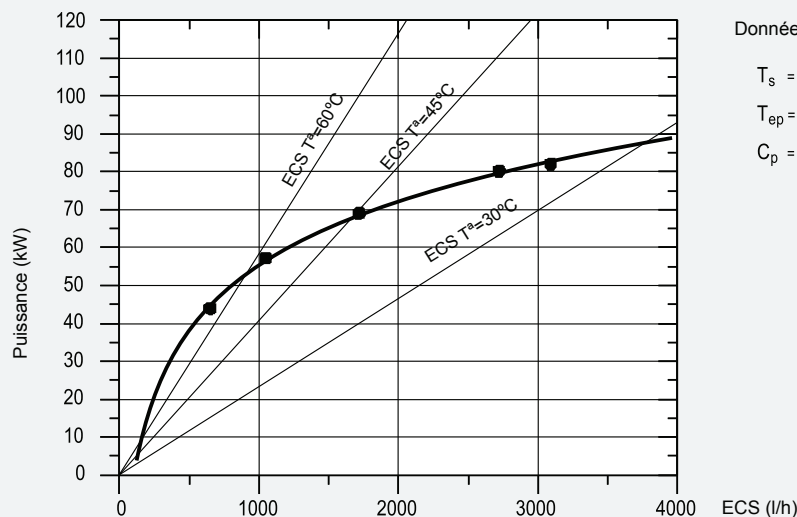
Débit de pointe à $40^\circ\text{C}$	L/10min	435
Débit de pointe à $45^\circ\text{C}$	L/10min	389
Débit de pointe à $60^\circ\text{C}$	L/10min	273
Débit de pointe à $40^\circ\text{C}$	L/60min	2750
Débit de pointe à $45^\circ\text{C}$	L/60min	2513
Débit de pointe à $60^\circ\text{C}$	L/60min	1504
Débit continu à $40^\circ\text{C}$	L/h	2775
Débit continu à $45^\circ\text{C}$	L/h	2549
Débit continu à $60^\circ\text{C}$	L/h	1777
Temps de préchauffage de $10$ à $60^\circ\text{C}$	min	15
Débit circuit primaire	$\text{m}^3/\text{h}$	6

Note: Performance déterminée à partir d'un débit circuit primaire de  $85^\circ\text{C}$  et d'une entrée d'eau froide circuit secondaire à  $10^\circ\text{C}$ .

Pertes de charge entre les connexions d'entrée et sortie du circuit primaire pour différents débits de circulation.



Courbes de production en continu d'ECS avec des températures différentes et un débit prédéterminé du circuit primaire pour  $\Delta T_p = 20^\circ\text{C}$  et  $\Delta T_s = 30^\circ\text{C}$



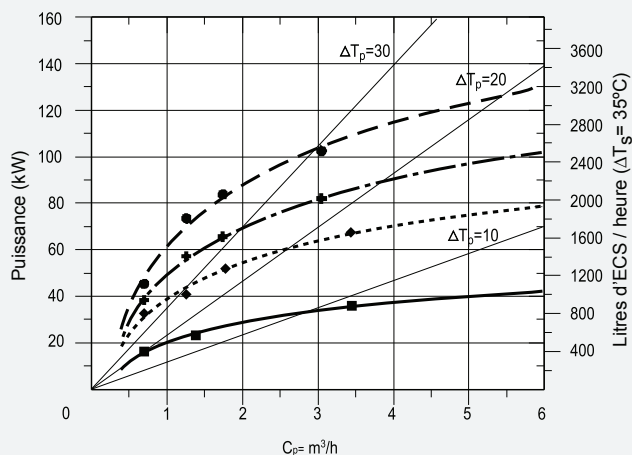
### Données d'essais

$T_s = 10^\circ\text{C}$   
 $T_{ep} = 80^\circ\text{C}$   
 $C_p = 3,1 \text{ m}^3/\text{h}$

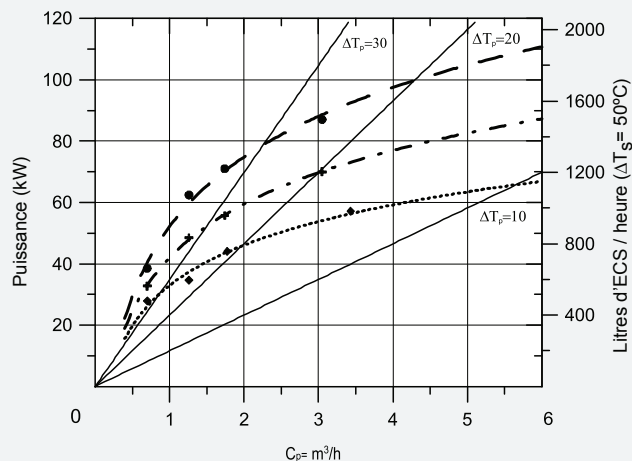
## CV-300-HL

$T_{ep} = 90^\circ\text{C}$   $T_{ep} = 70^\circ\text{C}$   
 $T_{ep} = 80^\circ\text{C}$   $T_{ep} = 55^\circ\text{C}$

Courbes de performance en fonction de différents débits et températures du circuit primaire pour une production d'ECS de  $10^\circ\text{C}$  à  $45^\circ\text{C}$



Courbes de performance en fonction de différents débits et températures du circuit primaire pour une production d'ECS de  $10^\circ\text{C}$  à  $60^\circ\text{C}$

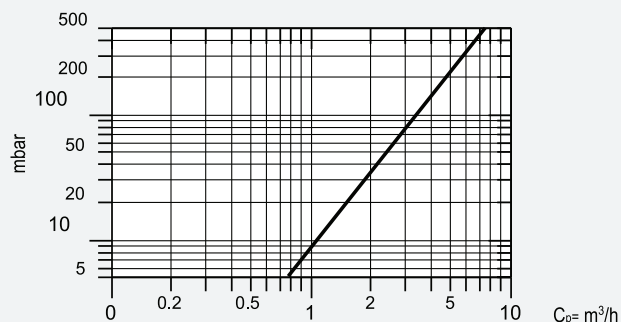


### Performances CV-300-HL

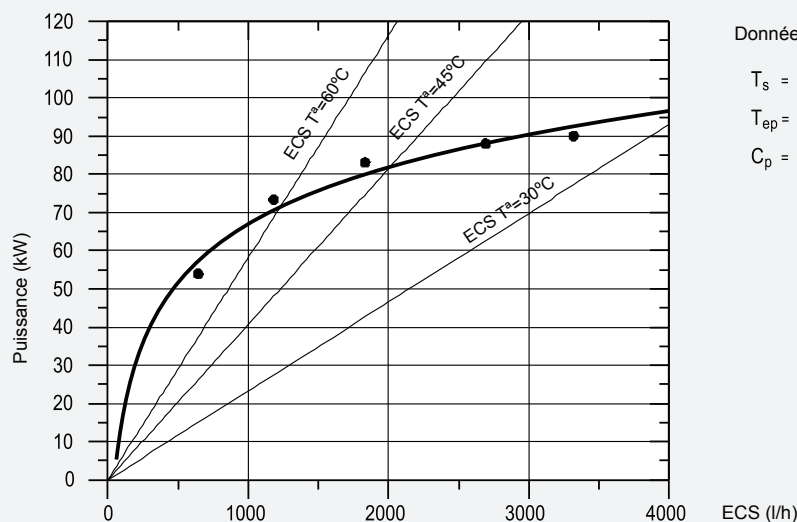
Débit de pointe à $40^\circ\text{C}$	L/10min	605
Débit de pointe à $45^\circ\text{C}$	L/10min	546
Débit de pointe à $60^\circ\text{C}$	L/10min	383
Débit de pointe à $40^\circ\text{C}$	L/60min	3470
Débit de pointe à $45^\circ\text{C}$	L/60min	3222
Débit de pointe à $60^\circ\text{C}$	L/60min	1973
Débit continu à $40^\circ\text{C}$	L/h	3440
Débit continu à $45^\circ\text{C}$	L/h	3211
Débit continu à $60^\circ\text{C}$	L/h	1907
Temps de préchauffage de $10$ à $60^\circ\text{C}$	min	18
Débit circuit primaire	$\text{m}^3/\text{h}$	6

Note: Performance déterminée à partir d'un débit circuit primaire de  $85^\circ\text{C}$  et d'une entrée d'eau froide circuit secondaire à  $10^\circ\text{C}$ .

Pertes de charge entre les connexions d'entrée et sortie du circuit primaire pour différents débits de circulation.



Courbes de production en continu d'ECS avec des températures différentes et un débit prédéterminé du circuit primaire pour  $\Delta T_p = 20^\circ\text{C}$  et  $\Delta T_s = 30^\circ\text{C}$



### Données d'essais

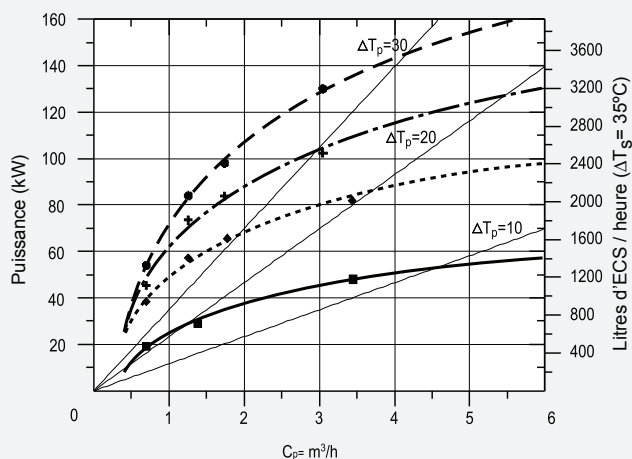
$T_s = 10^\circ\text{C}$   
 $T_{ep} = 80^\circ\text{C}$   
 $C_p = 3,3 \text{ m}^3/\text{h}$



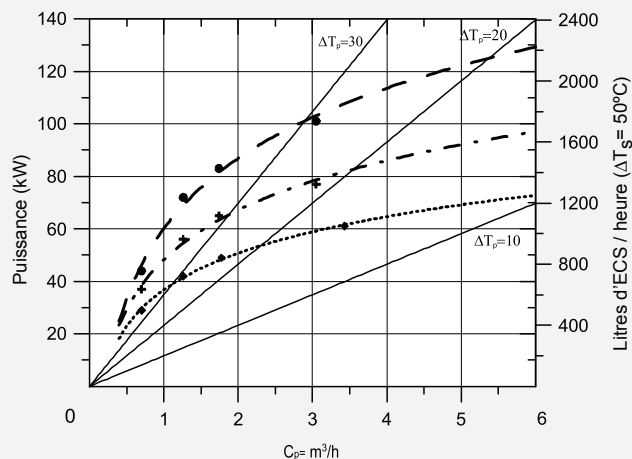
## CV-400-HL

$T_{ep} = 90^\circ\text{C}$      $T_{ep} = 70^\circ\text{C}$   
 $T_{ep} = 80^\circ\text{C}$      $T_{ep} = 55^\circ\text{C}$

Courbes de performance en fonction de différents débits et températures du circuit primaire pour une production d'ECS de  $10^\circ\text{C}$  à  $45^\circ\text{C}$



Courbes de performance en fonction de différents débits et températures du circuit primaire pour une production d'ECS de  $10^\circ\text{C}$  à  $60^\circ\text{C}$

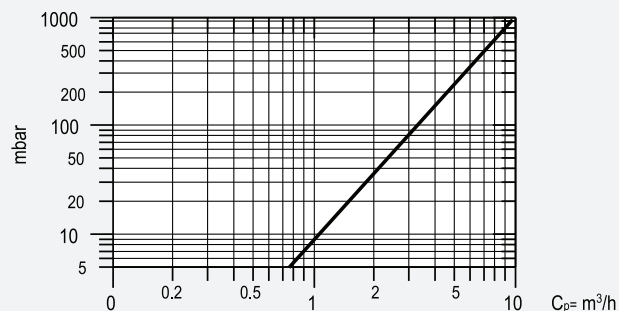


### Performances CV-400-HL

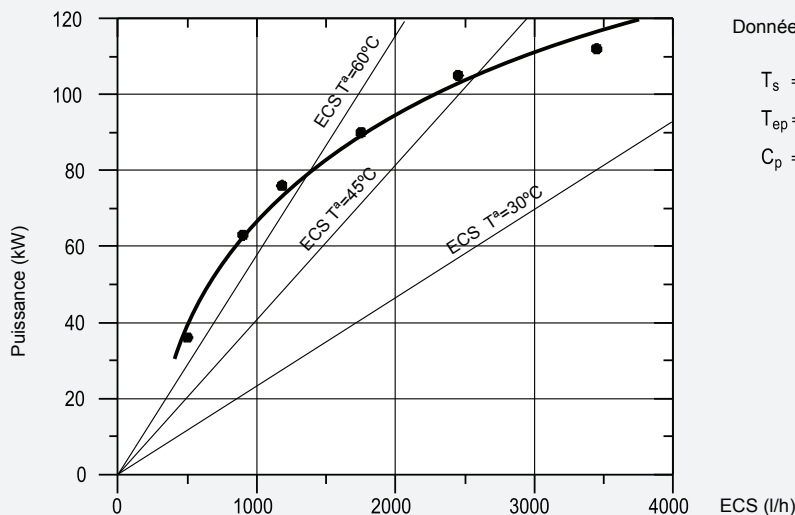
Débit de pointe à $40^\circ\text{C}$	L/10min	835
Débit de pointe à $45^\circ\text{C}$	L/10min	751
Débit de pointe à $60^\circ\text{C}$	L/10min	525
Débit de pointe à $40^\circ\text{C}$	L/60min	4455
Débit de pointe à $45^\circ\text{C}$	L/60min	4105
Débit de pointe à $60^\circ\text{C}$	L/60min	2380
Débit continu à $40^\circ\text{C}$	L/h	4345
Débit continu à $45^\circ\text{C}$	L/h	4025
Débit continu à $60^\circ\text{C}$	L/h	2226
Temps de préchauffage de $10$ à $60^\circ\text{C}$	min	20
Débit circuit primaire	$\text{m}^3/\text{h}$	6

Note: Performance déterminée à partir d'un débit circuit primaire de  $85^\circ\text{C}$  et d'une entrée d'eau froide circuit secondaire à  $10^\circ\text{C}$ .

Pertes de charge entre les connexions d'entrée et sortie du circuit primaire pour différents débits de circulation.



Courbes de production en continu d'ECS avec des températures différentes et un débit prédéterminé du circuit primaire pour  $\Delta T_p = 20^\circ\text{C}$  et  $\Delta T_s = 30^\circ\text{C}$



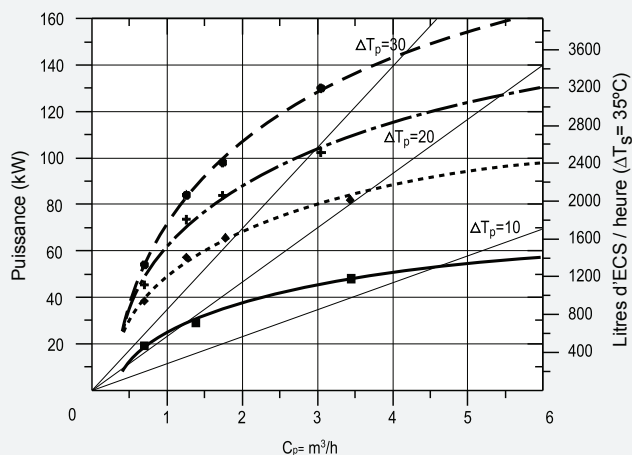
Données d'essais

$T_s = 10^\circ\text{C}$   
 $T_{ep} = 80^\circ\text{C}$   
 $C_p = 3,3 \text{ m}^3/\text{h}$

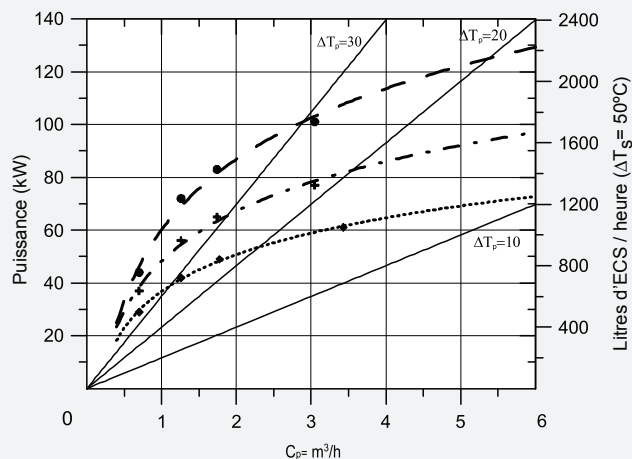
## CV-500-HL

$T_{ep} = 90^\circ\text{C}$   $T_{ep} = 70^\circ\text{C}$   
 $T_{ep} = 80^\circ\text{C}$   $T_{ep} = 55^\circ\text{C}$

Courbes de performance en fonction de différents débits et températures du circuit primaire pour une production d'ECS de  $10^\circ\text{C}$  à  $45^\circ\text{C}$



Courbes de performance en fonction de différents débits et températures du circuit primaire pour une production d'ECS de  $10^\circ\text{C}$  à  $60^\circ\text{C}$

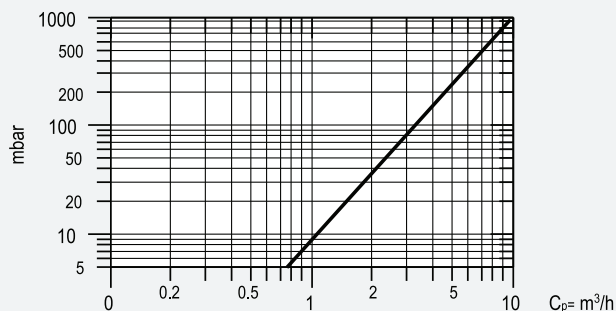


### Performances CV-500-HL

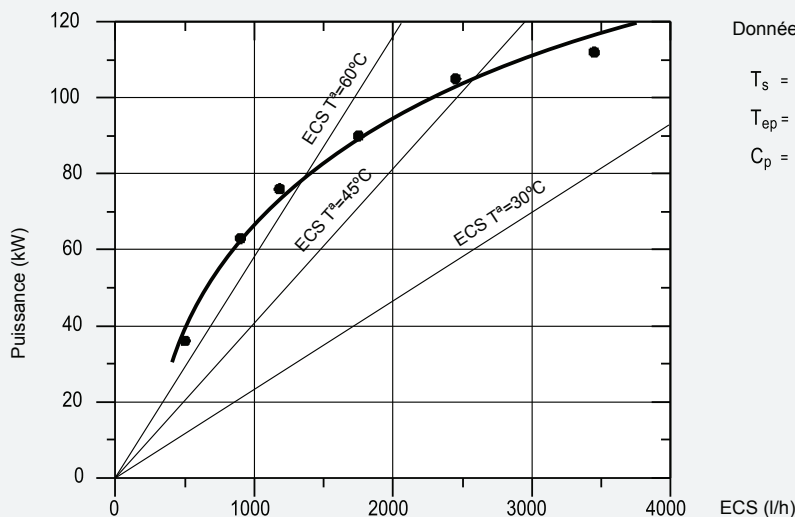
Débit de pointe à $40^\circ\text{C}$	L/10min	1085
Débit de pointe à $45^\circ\text{C}$	L/10min	977
Débit de pointe à $60^\circ\text{C}$	L/10min	683
Débit de pointe à $40^\circ\text{C}$	L/60min	4705
Débit de pointe à $45^\circ\text{C}$	L/60min	4331
Débit de pointe à $60^\circ\text{C}$	L/60min	2538
Débit continu à $40^\circ\text{C}$	L/h	4345
Débit continu à $45^\circ\text{C}$	L/h	4025
Débit continu à $60^\circ\text{C}$	L/h	2226
Temps de préchauffage de $10$ à $60^\circ\text{C}$	min	22
Débit circuit primaire	$\text{m}^3/\text{h}$	6

Note: Performance déterminée à partir d'un débit circuit primaire de  $85^\circ\text{C}$  et d'une entrée d'eau froide circuit secondaire à  $10^\circ\text{C}$ .

Pertes de charge entre les connexions d'entrée et sortie du circuit primaire pour différents débits de circulation.



Courbes de production en continu d'ECS avec des températures différentes et un débit prédéterminé du circuit primaire pour  $\Delta T_p = 20^\circ\text{C}$  et  $\Delta T_s = 30^\circ\text{C}$



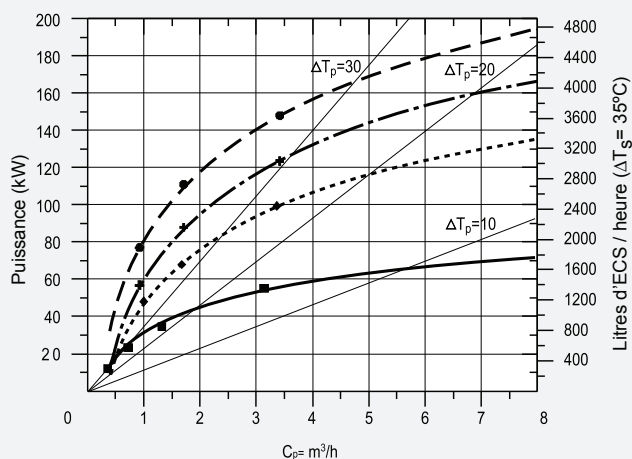
Données d'essais

$T_s = 10^\circ\text{C}$   
 $T_{ep} = 80^\circ\text{C}$   
 $C_p = 3,3 \text{ m}^3/\text{h}$

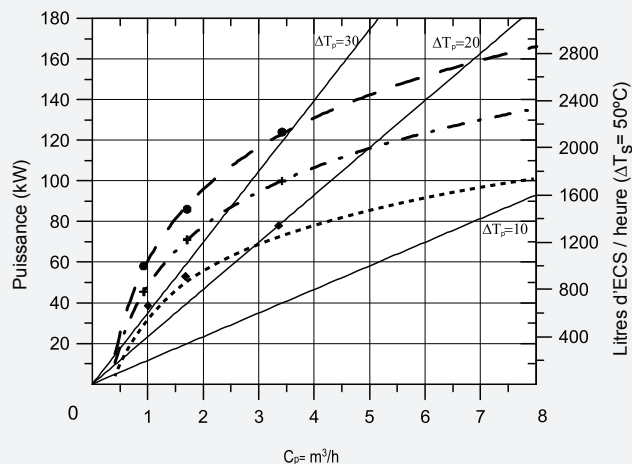
## CV-800-HL

$T_{ep} = 90^\circ\text{C}$      $T_{ep} = 70^\circ\text{C}$   
 $T_{ep} = 80^\circ\text{C}$      $T_{ep} = 55^\circ\text{C}$

Courbes de performance en fonction de différents débits et températures du circuit primaire pour une production d'ECS de  $10^\circ\text{C}$  à  $45^\circ\text{C}$



Courbes de performance en fonction de différents débits et températures du circuit primaire pour une production d'ECS de  $10^\circ\text{C}$  à  $60^\circ\text{C}$

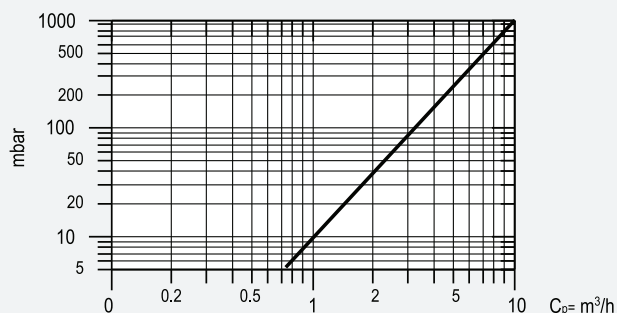


### Performances CV-800-HL

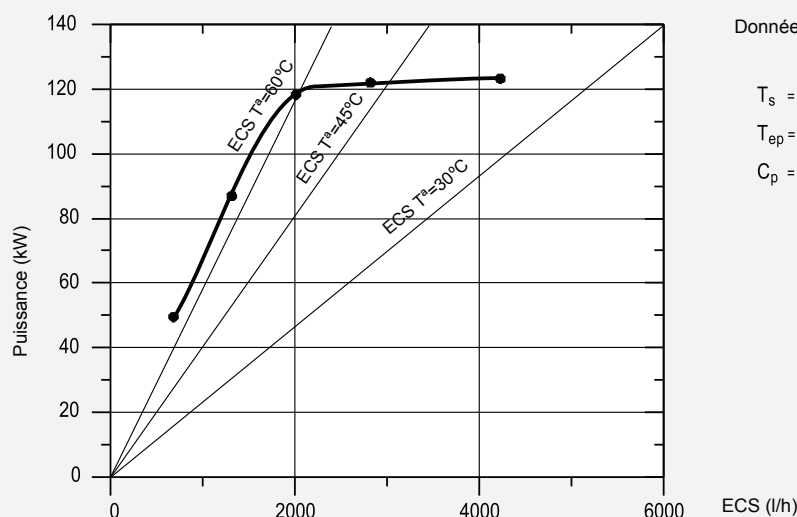
Débit de pointe à $40^\circ\text{C}$	L/10min	1625
Débit de pointe à $45^\circ\text{C}$	L/10min	1465
Débit de pointe à $60^\circ\text{C}$	L/10min	1024
Débit de pointe à $40^\circ\text{C}$	L/60min	6065
Débit de pointe à $45^\circ\text{C}$	L/60min	5449
Débit de pointe à $60^\circ\text{C}$	L/60min	3406
Débit continu à $40^\circ\text{C}$	L/h	5330
Débit continu à $45^\circ\text{C}$	L/h	5449
Débit continu à $60^\circ\text{C}$	L/h	3046
Temps de préchauffage de $10$ à $60^\circ\text{C}$	min	26
Débit circuit primaire	$\text{m}^3/\text{h}$	8

Note: Performance déterminée à partir d'un débit circuit primaire de  $85^\circ\text{C}$  et d'une entrée d'eau froide circuit secondaire à  $10^\circ\text{C}$ .

Pertes de charge entre les connexions d'entrée et sortie du circuit primaire pour différents débits de circulation.



Courbes de production en continu d'ECS avec des températures différentes et un débit prédéterminé du circuit primaire pour  $\Delta T_p = 20^\circ\text{C}$  et  $\Delta t_s = 30^\circ\text{C}$



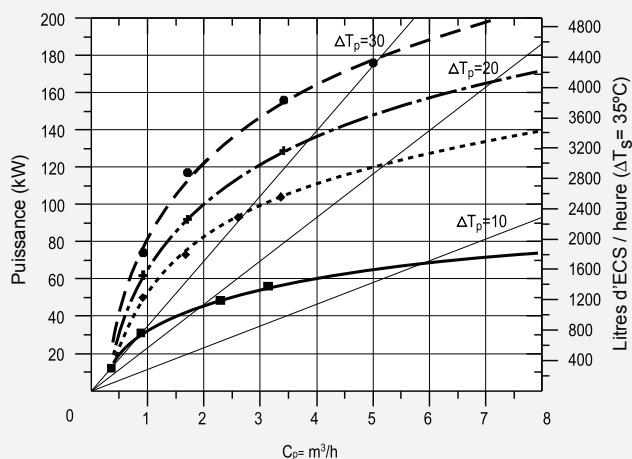
### Données d'essais

$T_s = 10^\circ\text{C}$   
 $T_{ep} = 80^\circ\text{C}$   
 $C_p = 3,4 \text{ m}^3/\text{h}$

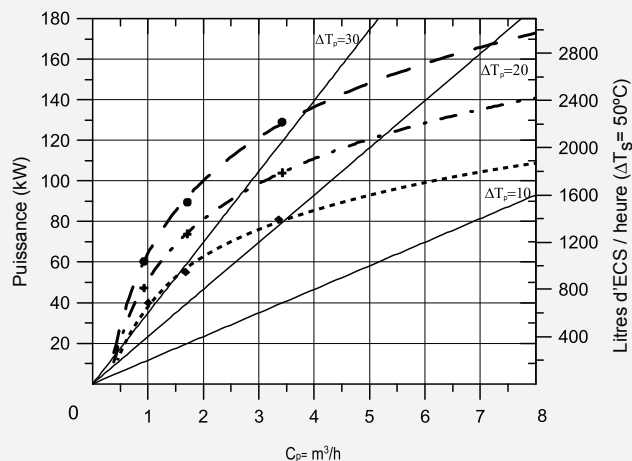
## CV-1000-HL

$T_{ep} = 90^\circ\text{C}$      $T_{ep} = 70^\circ\text{C}$   
 $T_{ep} = 80^\circ\text{C}$      $T_{ep} = 55^\circ\text{C}$

Courbes de performance en fonction de différents débits et températures du circuit primaire pour une production d'ECS de  $10^\circ\text{C}$  à  $45^\circ\text{C}$



Courbes de performance en fonction de différents débits et températures du circuit primaire pour une production d'ECS de  $10^\circ\text{C}$  à  $60^\circ\text{C}$

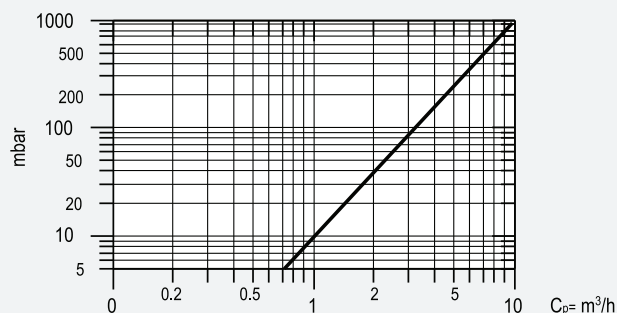


### Performances CV-1000-HL

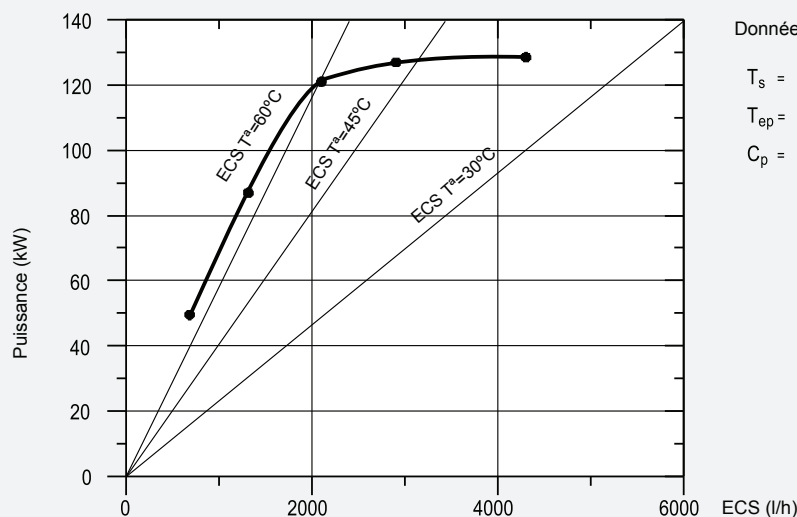
Débit de pointe à $40^\circ\text{C}$	L/10min	1950
Débit de pointe à $45^\circ\text{C}$	L/10min	1754
Débit de pointe à $60^\circ\text{C}$	L/10min	1229
Débit de pointe à $40^\circ\text{C}$	L/60min	6605
Débit de pointe à $45^\circ\text{C}$	L/60min	5982
Débit de pointe à $60^\circ\text{C}$	L/60min	3708
Débit continu à $40^\circ\text{C}$	L/h	5585
Débit continu à $45^\circ\text{C}$	L/h	5075
Débit continu à $60^\circ\text{C}$	L/h	2975
Temps de préchauffage de $10$ à $60^\circ\text{C}$	min	31
Débit circuit primaire	m³/h	8

Note: Performance déterminée à partir d'un débit circuit primaire de  $85^\circ\text{C}$  et d'une entrée d'eau froide circuit secondaire à  $10^\circ\text{C}$ .

Pertes de charge entre les connexions d'entrée et sortie du circuit primaire pour différents débits de circulation.



Courbes de production en continu d'ECS avec des températures différentes et un débit prédéterminé du circuit primaire pour  $\Delta T_p = 20^\circ\text{C}$  et  $\Delta t_s = 30^\circ\text{C}$



Données d'essais

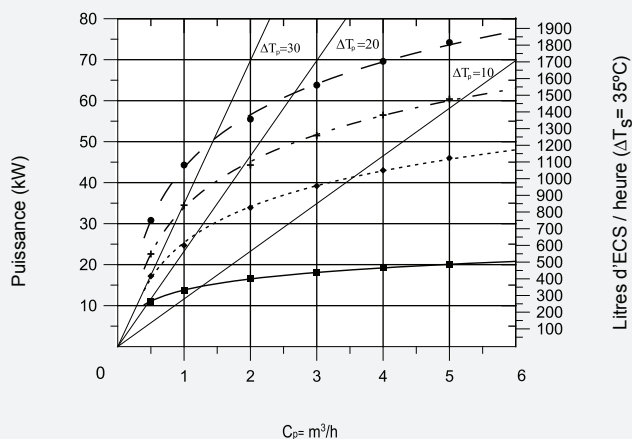
$T_s = 10^\circ\text{C}$   
 $T_{ep} = 80^\circ\text{C}$   
 $C_p = 3,4 \text{ m}^3/\text{h}$

## CV-350-HL/DUO

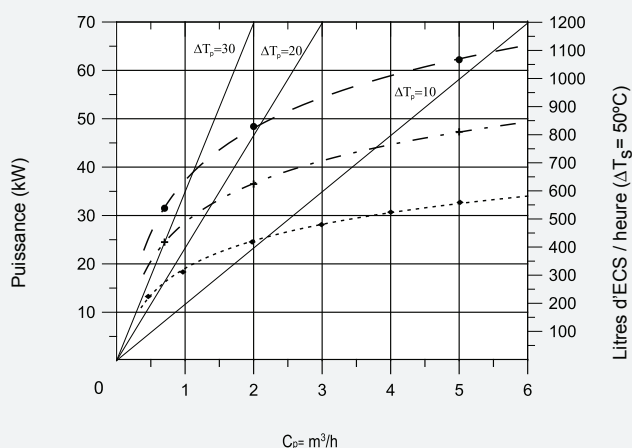
$T_{ep} = 90^\circ\text{C}$      $T_{ep} = 70^\circ\text{C}$   
 $T_{ep} = 80^\circ\text{C}$      $T_{ep} = 55^\circ\text{C}$

### Serpentin inférieur

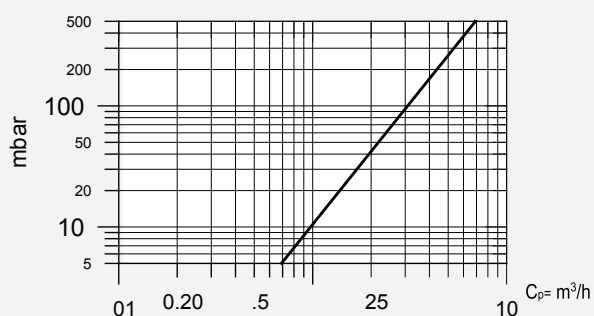
Courbes de performance en fonction de différents débits et températures du circuit primaire pour une production d'ECS de 10°C à 45°C



Courbes de performance en fonction de différents débits et températures du circuit primaire pour une production d'ECS de 10°C à 60°C

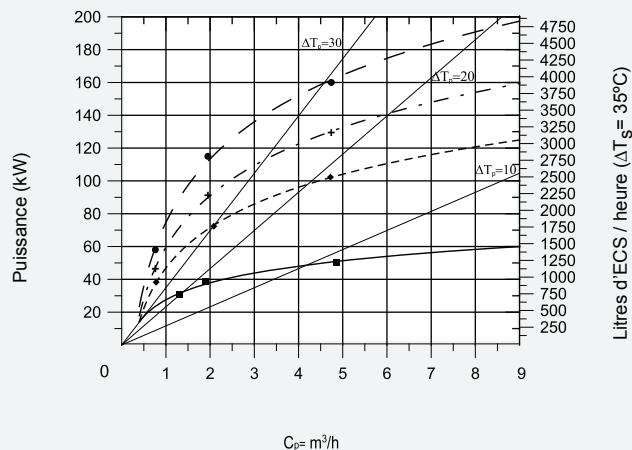


Pertes de charge entre les connexions d'entrée et sortie du circuit primaire pour différents débits de circulation.

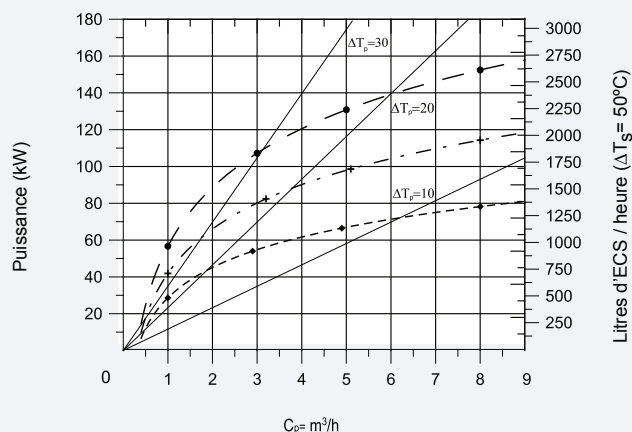


### Serpentin supérieur

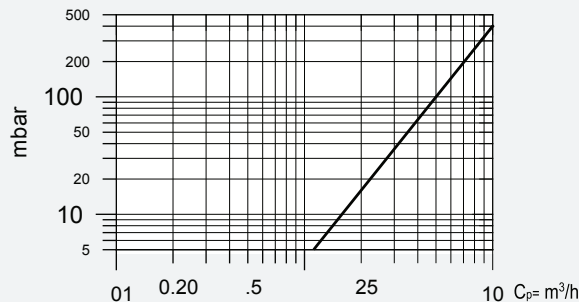
Courbes de performance en fonction de différents débits et températures du circuit primaire pour une production d'ECS de 10°C à 45°C



Courbes de performance en fonction de différents débits et températures du circuit primaire pour une production d'ECS de 10°C à 60°C



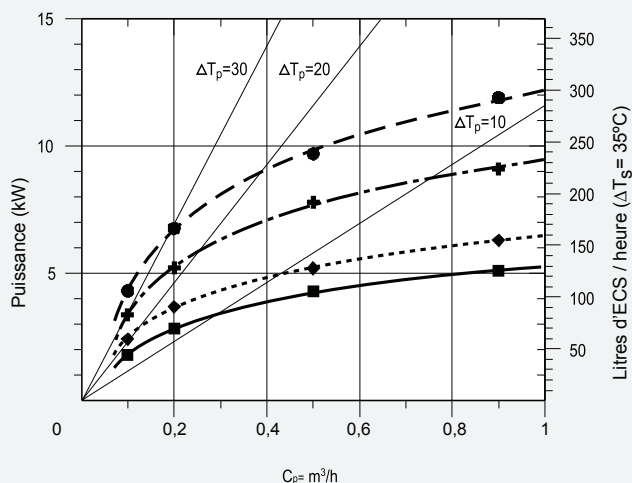
Pertes de charge entre les connexions d'entrée et sortie du circuit primaire pour différents débits de circulation.



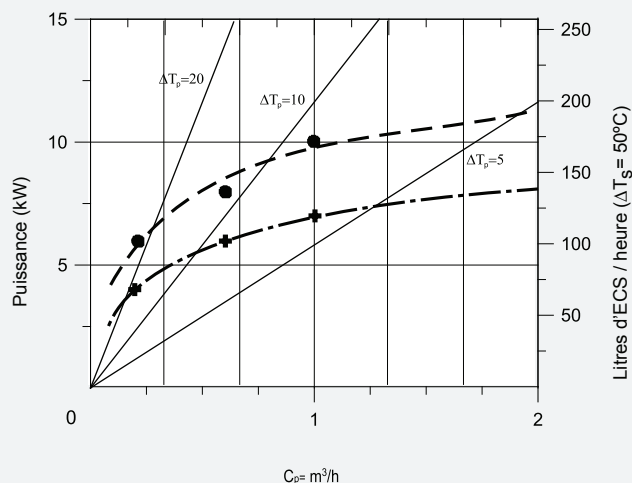
## CV-80-M1S

$T_{ep} = 80^{\circ}\text{C}$      $T_{ep} = 60^{\circ}\text{C}$   
 $T_{ep} = 70^{\circ}\text{C}$      $T_{ep} = 55^{\circ}\text{C}$

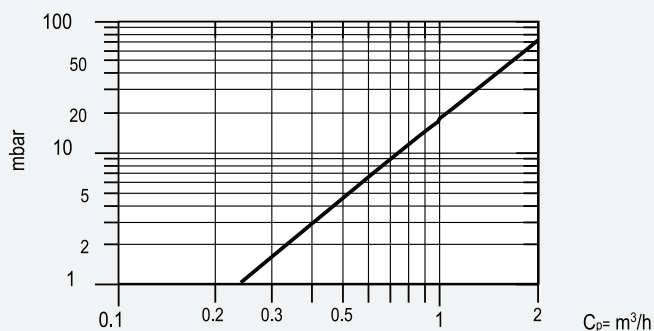
Courbes de performance en fonction de différents débits et températures du circuit primaire pour une production d'ECS de  $10^{\circ}\text{C}$  à  $45^{\circ}\text{C}$



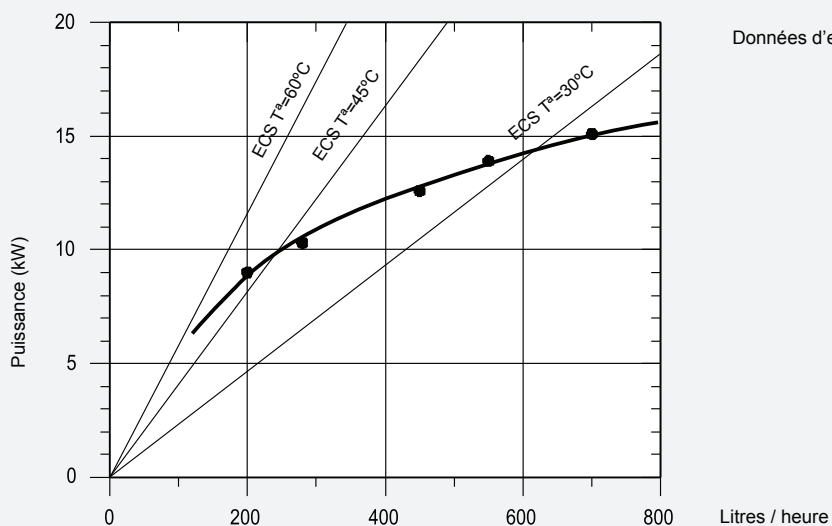
Courbes de performance en fonction de différents débits et températures du circuit primaire pour une production d'ECS de  $10^{\circ}\text{C}$  à  $60^{\circ}\text{C}$



Pertes de charge entre les connexions d'entrée et sortie du circuit primaire pour différents débits de circulation.



Courbes de production en continu d'eau avec des températures différentes et un débit prédéterminé du circuit primaire pour  $\Delta T_p = 20^{\circ}\text{C}$  et  $\Delta T_s = 30^{\circ}\text{C}$



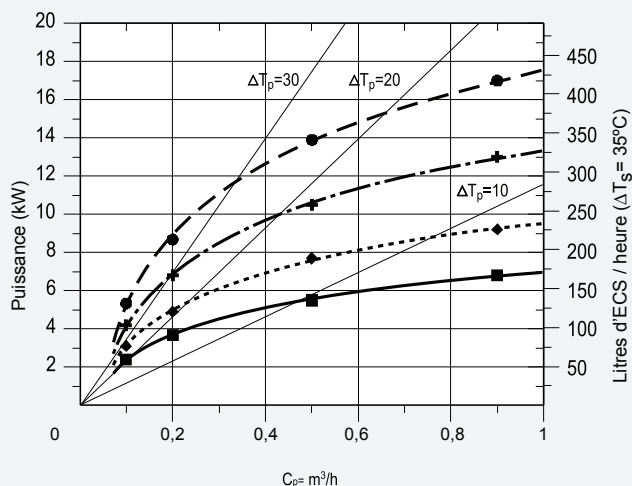
Données d'essais

$T_s = 10^{\circ}\text{C}$   
 $T_{ep} = 80^{\circ}\text{C}$   
 $C_p = 0,5 \text{ m}^3/\text{h}$

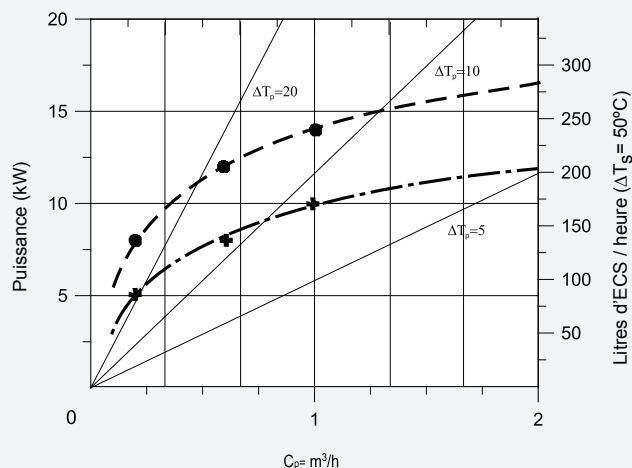
## CV-110-M1S

$T_{ep} = 80^{\circ}\text{C}$      $T_{ep} = 60^{\circ}\text{C}$   
 $T_{ep} = 70^{\circ}\text{C}$      $T_{ep} = 55^{\circ}\text{C}$

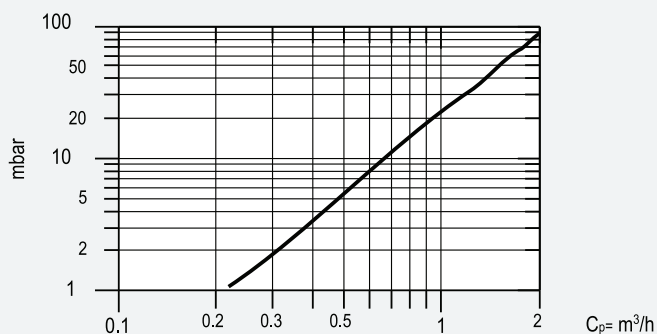
Courbes de performance en fonction de différents débits et températures du circuit primaire pour une production d'ECS de  $10^{\circ}\text{C}$  à  $45^{\circ}\text{C}$



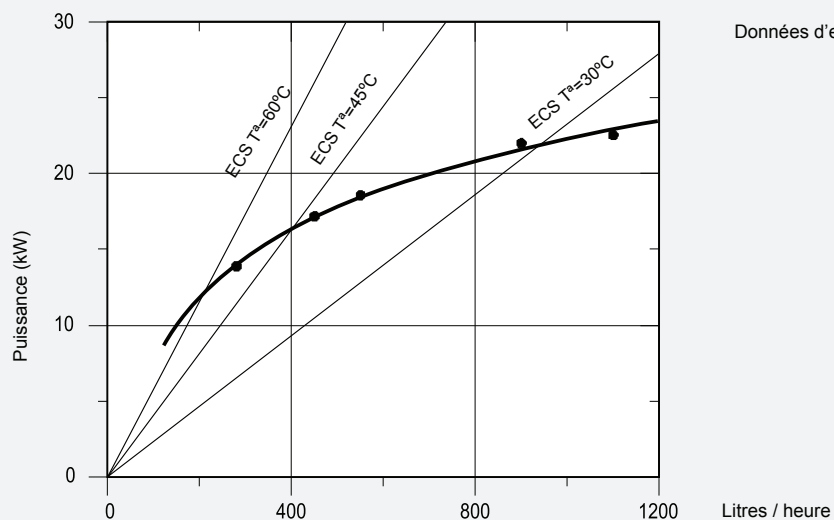
Courbes de performance en fonction de différents débits et températures du circuit primaire pour une production d'ECS de  $10^{\circ}\text{C}$  à  $60^{\circ}\text{C}$



Pertes de charge entre les connexions d'entrée et sortie du circuit primaire pour différents débits de circulation.



Courbes de production en continu d'eau avec des températures différentes et un débit prédéterminé du circuit primaire pour  $\Delta T_p = 20^{\circ}\text{C}$  et  $\Delta T_s = 30^{\circ}\text{C}$



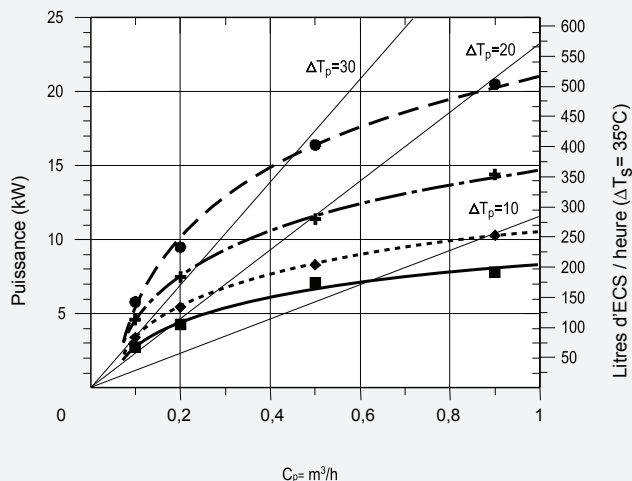
Données d'essais

$T_s = 10^{\circ}\text{C}$   
 $T_{ep} = 80^{\circ}\text{C}$   
 $C_p = 0,8 \text{ m}^3/\text{h}$

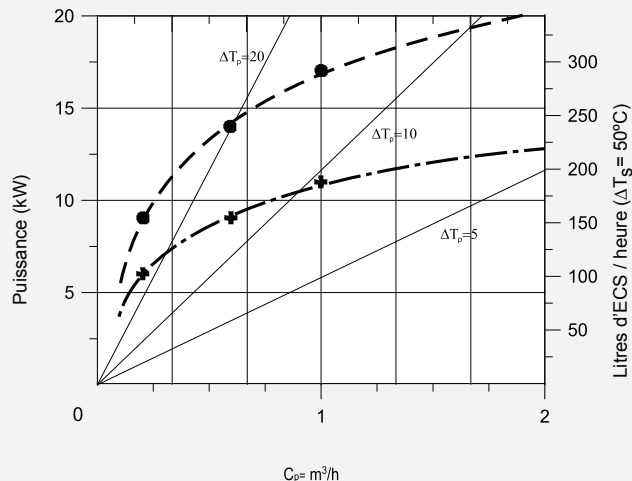
## CV-150-M1S

$T_{ep} = 80^{\circ}\text{C}$      $T_{ep} = 60^{\circ}\text{C}$   
 $T_{ep} = 70^{\circ}\text{C}$      $T_{ep} = 55^{\circ}\text{C}$

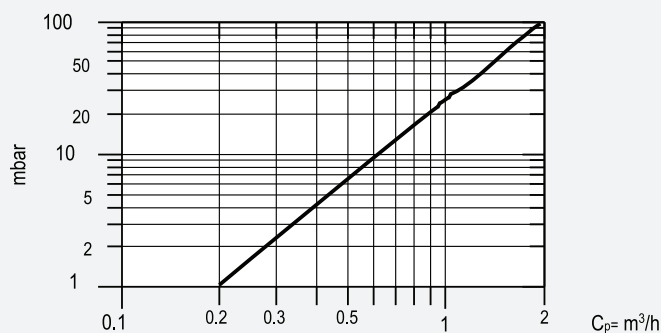
Courbes de performance en fonction de différents débits et températures du circuit primaire pour une production d'ECS de  $10^{\circ}\text{C}$  à  $45^{\circ}\text{C}$



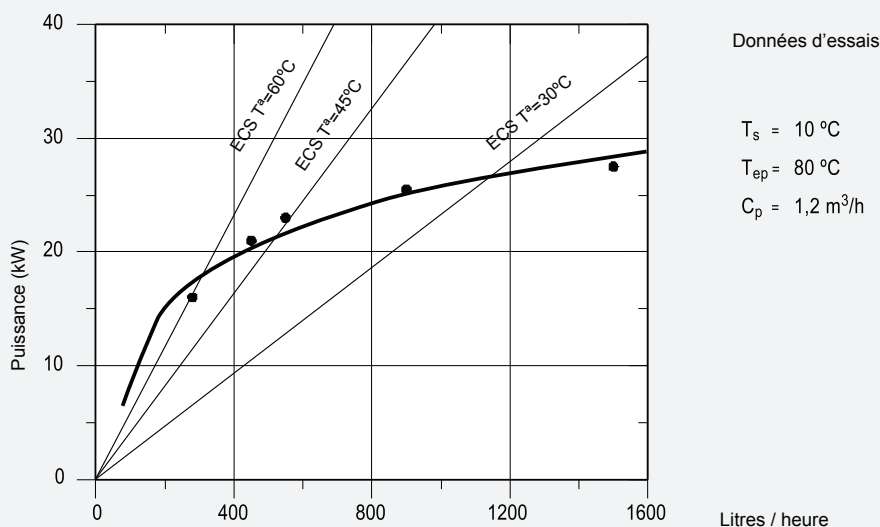
Courbes de performance en fonction de différents débits et températures du circuit primaire pour une production d'ECS de  $10^{\circ}\text{C}$  à  $60^{\circ}\text{C}$



Pertes de charge entre les connexions d'entrée et sortie du circuit primaire pour différents débits de circulation.



Courbes de production en continu d'eau avec des températures différentes et un débit prédéterminé du circuit primaire pour  $\Delta T_p = 20^{\circ}\text{C}$  et  $\Delta t_s = 30^{\circ}\text{C}$

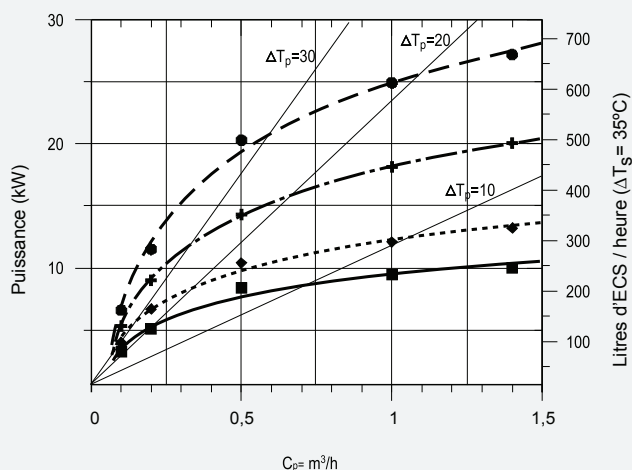




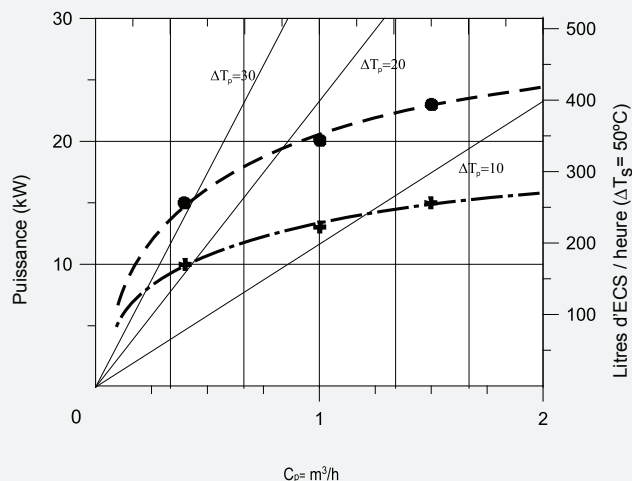
## CV-200-M1S

$T_{ep} = 80^{\circ}\text{C}$      $T_{ep} = 60^{\circ}\text{C}$   
 $T_{ep} = 70^{\circ}\text{C}$      $T_{ep} = 55^{\circ}\text{C}$

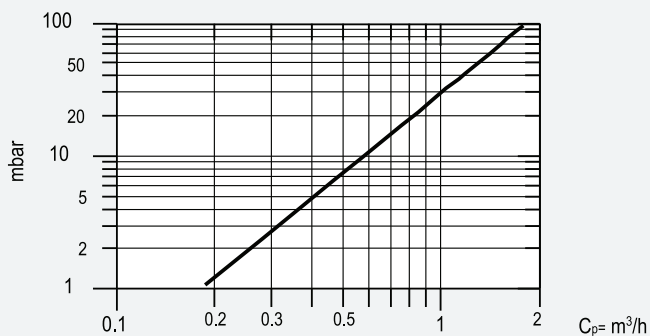
Courbes de performance en fonction de différents débits et températures du circuit primaire pour une production d'ECS de  $10^{\circ}\text{C}$  à  $45^{\circ}\text{C}$



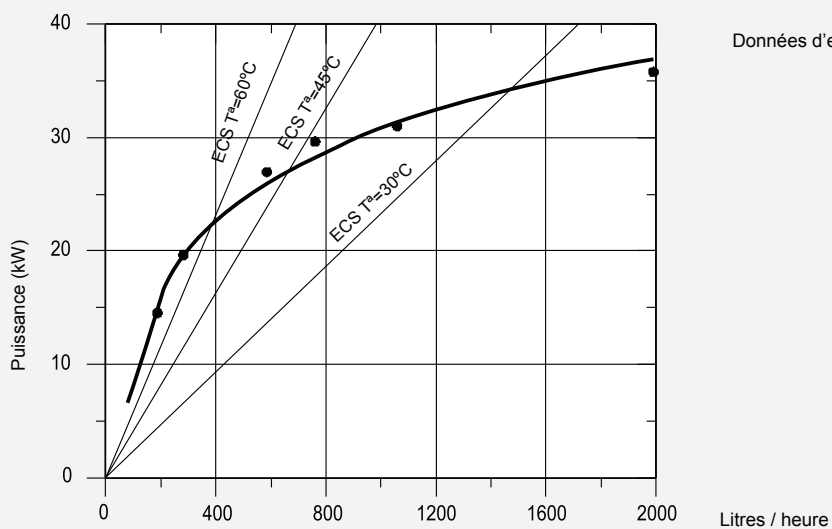
Courbes de performance en fonction de différents débits et températures du circuit primaire pour une production d'ECS de  $10^{\circ}\text{C}$  à  $60^{\circ}\text{C}$



Pertes de charge entre les connexions d'entrée et sortie du circuit primaire pour différents débits de circulation.



Courbes de production en continu d'eau avec des températures différentes et un débit prédéterminé du circuit primaire pour  $\Delta T_p = 20^{\circ}\text{C}$  et  $\Delta T_s = 30^{\circ}\text{C}$



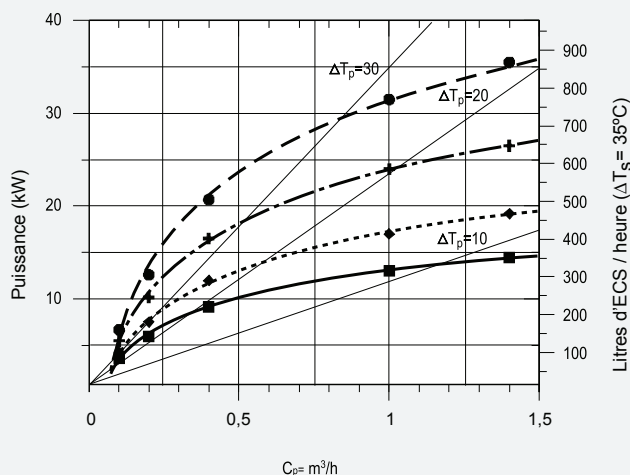
Données d'essais

$T_s = 10^{\circ}\text{C}$   
 $T_{ep} = 80^{\circ}\text{C}$   
 $C_p = 1,2 \text{ m}^3/\text{h}$

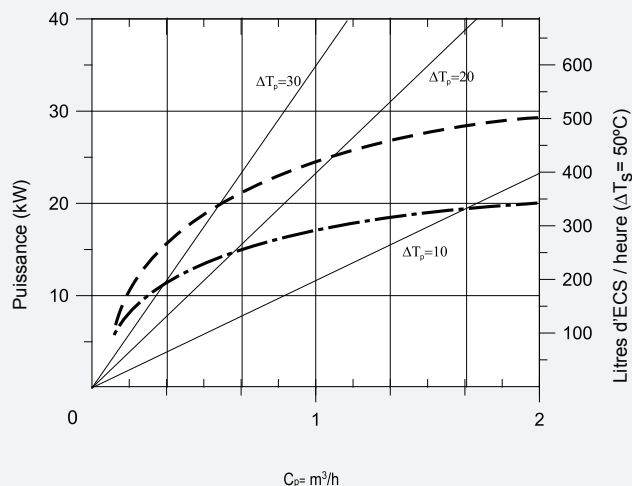
## CV-300-M1S

$T_{ep} = 80^{\circ}\text{C}$      $T_{ep} = 60^{\circ}\text{C}$   
 $T_{ep} = 70^{\circ}\text{C}$      $T_{ep} = 55^{\circ}\text{C}$

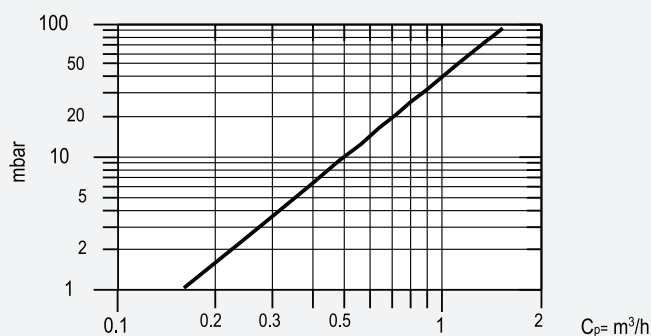
Courbes de performance en fonction de différents débits et températures du circuit primaire pour une production d'ECS de  $10^{\circ}\text{C}$  à  $45^{\circ}\text{C}$



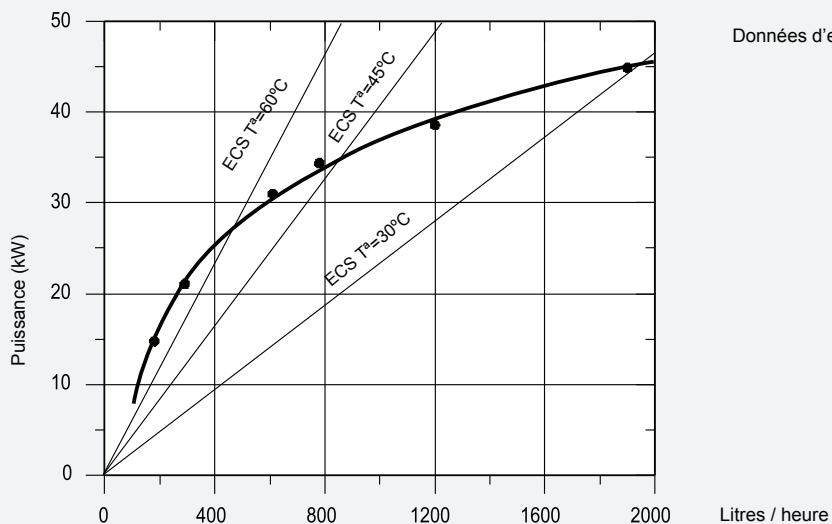
Courbes de performance en fonction de différents débits et températures du circuit primaire pour une production d'ECS de  $10^{\circ}\text{C}$  à  $60^{\circ}\text{C}$



Pertes de charge entre les connexions d'entrée et sortie du circuit primaire pour différents débits de circulation.



Courbes de production en continu d'eau avec des températures différentes et un débit prédéterminé du circuit primaire pour  $\Delta T_p = 20^{\circ}\text{C}$  et  $\Delta T_s = 30^{\circ}\text{C}$



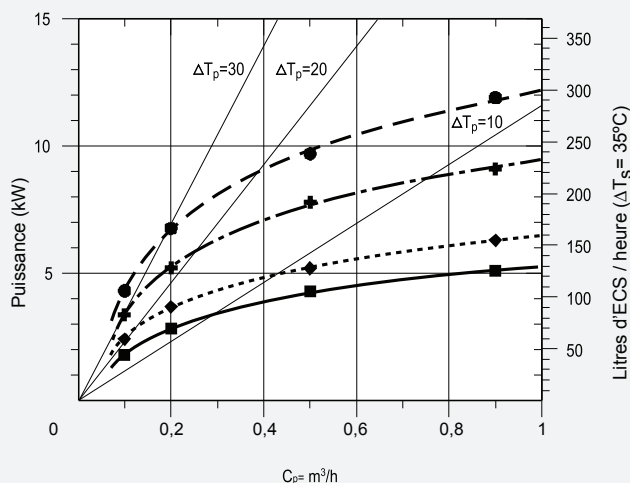
Données d'essais

$T_s = 10^{\circ}\text{C}$   
 $T_{ep} = 80^{\circ}\text{C}$   
 $C_p = 1,6 \text{ m}^3/\text{h}$

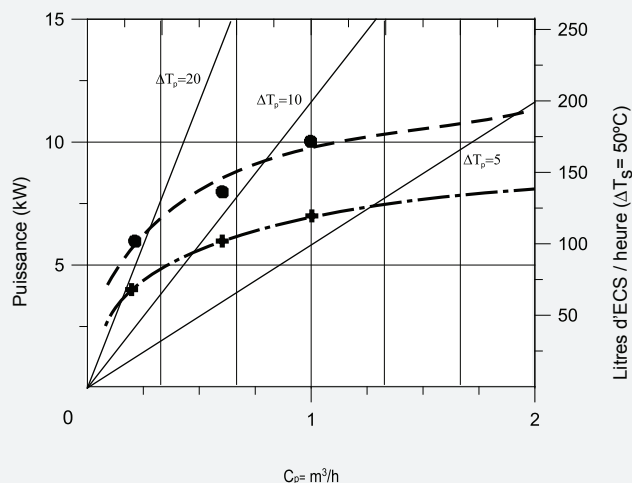
## CV-90-M1M

$T_{ep} = 80^{\circ}\text{C}$      $T_{ep} = 60^{\circ}\text{C}$   
 $T_{ep} = 70^{\circ}\text{C}$      $T_{ep} = 55^{\circ}\text{C}$

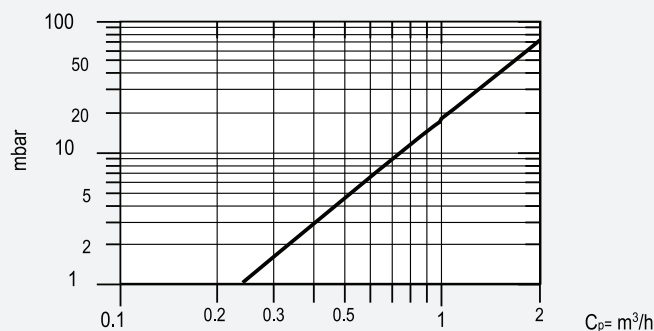
Courbes de performance en fonction de différents débits et températures du circuit primaire pour une production d'ECS de  $10^{\circ}\text{C}$  à  $45^{\circ}\text{C}$



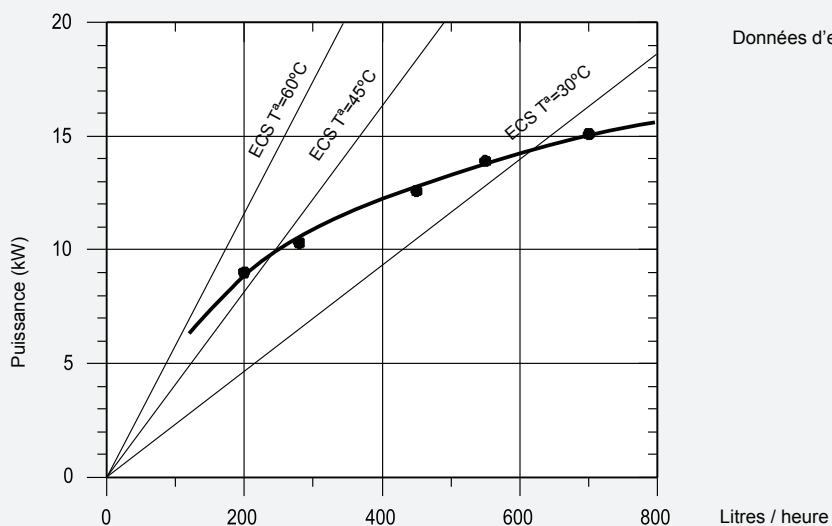
Courbes de performance en fonction de différents débits et températures du circuit primaire pour une production d'ECS de  $10^{\circ}\text{C}$  à  $60^{\circ}\text{C}$



Pertes de charge entre les connexions d'entrée et sortie du circuit primaire pour différents débits de circulation.



Courbes de production en continu d'eau avec des températures différentes et un débit prédéterminé du circuit primaire pour  $\Delta T_p = 20^{\circ}\text{C}$  et  $\Delta T_s = 30^{\circ}\text{C}$



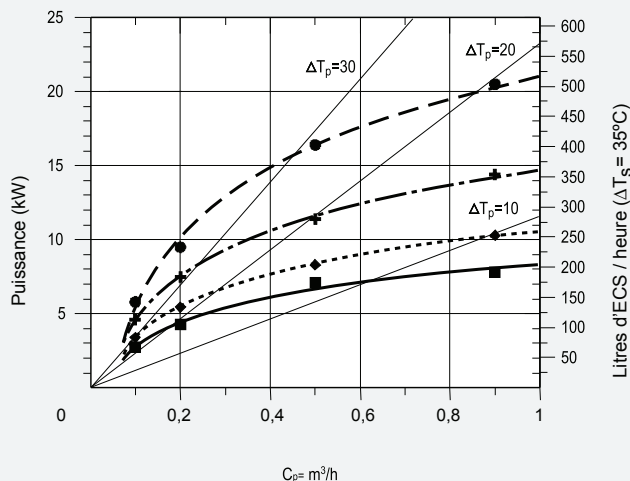
Données d'essais

$T_s = 10^{\circ}\text{C}$   
 $T_{ep} = 80^{\circ}\text{C}$   
 $C_p = 0,5 \text{ m}^3/\text{h}$

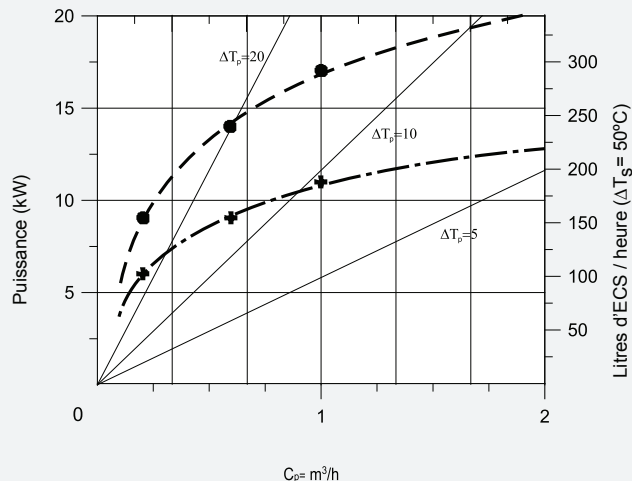
## CV-120-M1M

$T_{ep} = 80^{\circ}\text{C}$      $T_{ep} = 60^{\circ}\text{C}$   
 $T_{ep} = 70^{\circ}\text{C}$      $T_{ep} = 55^{\circ}\text{C}$

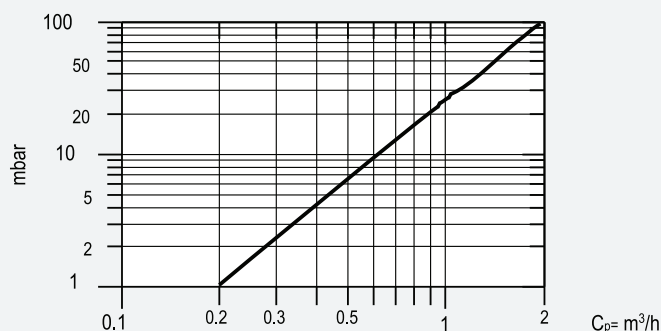
Courbes de performance en fonction de différents débits et températures du circuit primaire pour une production d'ECS de  $10^{\circ}\text{C}$  à  $45^{\circ}\text{C}$



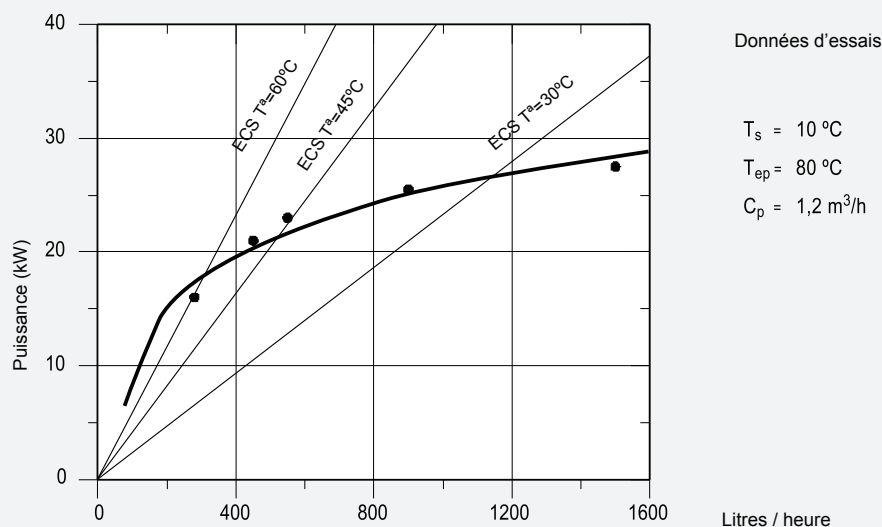
Courbes de performance en fonction de différents débits et températures du circuit primaire pour une production d'ECS de  $10^{\circ}\text{C}$  à  $60^{\circ}\text{C}$



Pertes de charge entre les connexions d'entrée et sortie du circuit primaire pour différents débits de circulation.



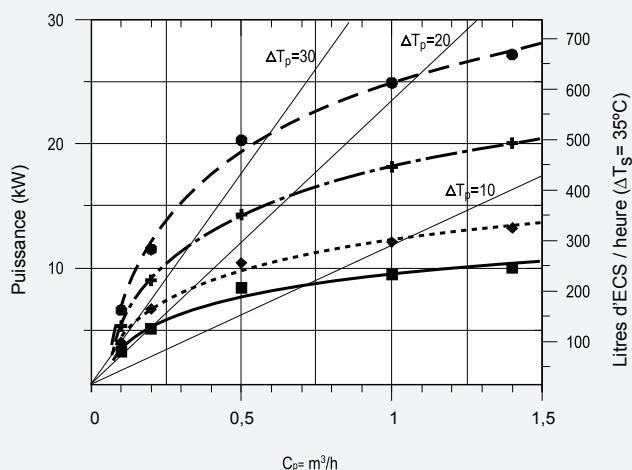
Courbes de production en continu d'eau avec des températures différentes et un débit prédéterminé du circuit primaire pour  $\Delta T_p = 20^{\circ}\text{C}$  et  $\Delta t_s = 30^{\circ}\text{C}$



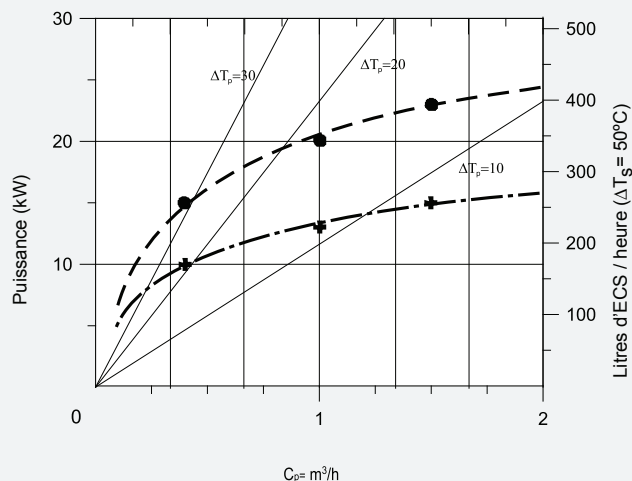
## CV-160-M1M

$T_{ep} = 80^{\circ}\text{C}$      $T_{ep} = 60^{\circ}\text{C}$   
 $T_{ep} = 70^{\circ}\text{C}$      $T_{ep} = 55^{\circ}\text{C}$

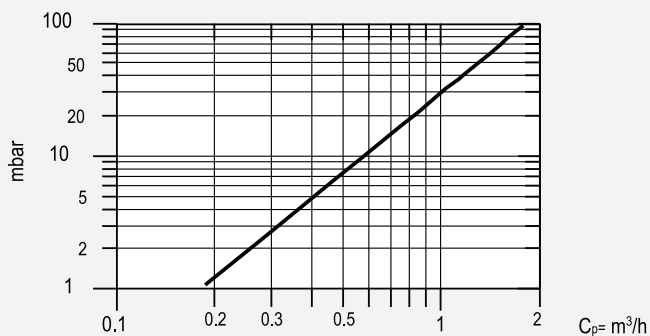
Courbes de performance en fonction de différents débits et températures du circuit primaire pour une production d'ECS de  $10^{\circ}\text{C}$  à  $45^{\circ}\text{C}$



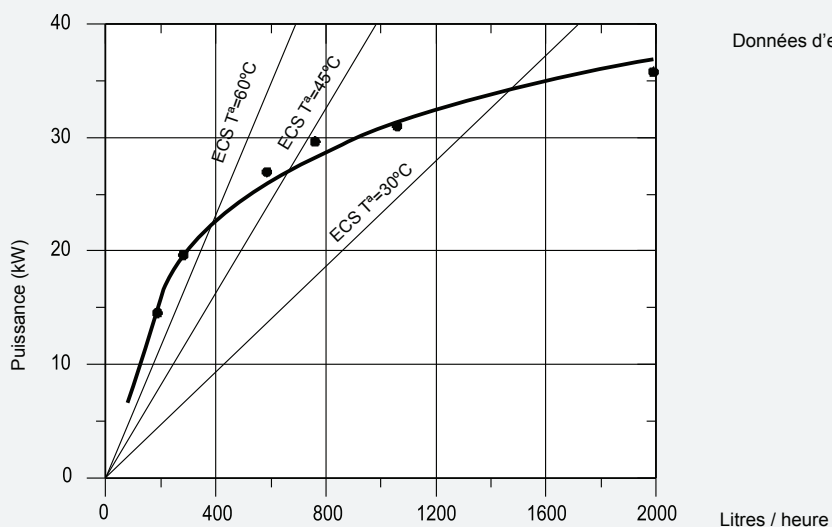
Courbes de performance en fonction de différents débits et températures du circuit primaire pour une production d'ECS de  $10^{\circ}\text{C}$  à  $60^{\circ}\text{C}$



Pertes de charge entre les connexions d'entrée et sortie du circuit primaire pour différents débits de circulation.



Courbes de production en continu d'eau avec des températures différentes et un débit prédéterminé du circuit primaire pour  $\Delta T_p = 20^{\circ}\text{C}$  et  $\Delta T_s = 30^{\circ}\text{C}$



Données d'essais

$T_s = 10^{\circ}\text{C}$   
 $T_{ep} = 80^{\circ}\text{C}$   
 $C_p = 1.2 \text{ m}^3/\text{h}$

## CV-800/1000-P/DUO

—●—  $T_{ep} = 90^\circ\text{C}$     - - - - -  $T_{ep} = 70^\circ\text{C}$   
 - - - - -  $T_{ep} = 80^\circ\text{C}$     —■—  $T_{ep} = 55^\circ\text{C}$

### Serpentin inférieur

Courbes de performance en fonction de différents débits et températures du circuit primaire pour une production d'ECS de 10°C à 45°C

